

Sl. 16. Planimetar s kolima i pločom priključen na računalo

Novija konstrukcija planimetrata s kolima i pločom ima mogućnost priklučka na automatski registrator podataka i na električko računalo (sl. 16).

Konstruiran je i planimetar s električkim brojilom, pa i s ugrađenim mikroprocesorom (sl. 17).

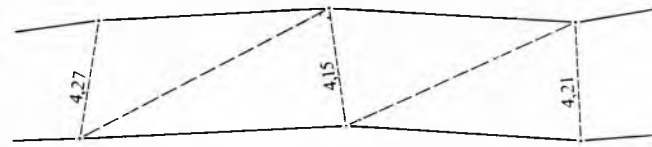
Dopušteno odstupanje između dvaju neovisnih računanja površine mehaničkom metodom računa se prema formuli (9).



Sl. 17. Planimetar s električkim brojilom i mikroprocesorom

Kombinirana metoda upotrebljava se za računanje površine likova kombinacijom dviju ili više opisanih metoda.

Najčešće se primjenjuje tzv. *polugrafička metoda*. To je kombinacija veličina izmjerjenih na terenu i veličina očitanih na planu. Ta se metoda preporučuje za računanje površina pravilnijih dugačkih i uskih likova (putovi, kanali i sl.). Lik se podijeli npr. na trokute. Na terenu se izmjere kraće stranice (npr. širine puta), a na planu se izmjere visine trokuta (sl. 18). Zbroj površina trokuta ukupna je površina lika.



Sl. 18. Računanje površina kombiniranim (polugrafičkim) metodom

Dopušteno odstupanje između dvaju neovisnih računanja površine kombinacijom izmjerjenih veličina na terenu i veličina očitanih na planu, prema Pravilniku, iznosi

$$\Delta p_{\text{komb}} = 0,00035 M \sqrt{P}, \quad (12)$$

gdje je M nazivnik mjerila plana.

Točnost računanja površina ovisi o točnosti mjerena na terenu, točnosti izrade plana i metodi računanja.

Na točnost računanja površina numeričkom metodom utječe samo pogreške mjerena na terenu.

Točnost računanja površina grafičkom i mehaničkom metodom ovisi o točnosti mjerena na terenu, kartiranja, očitanja podataka na planu ili planimetru i priboru (razmjernik, metalni trokuti, planimetar i dr.). Zatim, ovisi o podlozi na kojoj je izrađen plan, mjerili plana, veličini lika (parcele, grupe parcela i sl.), broju ponavljanja i osobi koja računa.

Zbog neizbjegljivih pogrešaka u računanju svaka se površina lika računa najmanje dva puta. Ako je razlika između dvaju neovisnih računanja u granicama dopuštenih odstupanja, smatra se da je nastala zbog slučajnih pogrešaka pri računanju. Točnost se rezultata računanja povećava ako se površina jednog lika računa više puta neovisno o prethodnim računanjima.

Da bi pogreške pri računanju površina bile što manje (točnost veća), treba prije računanja provjeriti ispravnost pribora za računanje površina.

LIT.: Jordan-Eggert-Kneissl, Handbuch der Vermessungskunde, Band II. J. B. Metzlersche Verlagsbuchhandlung, Stuttgart ¹⁰1963. – Savezna geodetska uprava, Pravilnik o tehničkim propisima za izradu originala planova i određivanju površina parcela pri premjeru zemljišta. Službeni list SFRJ, br. 8/70, Beograd 1970 – P. A. Жмодяк, В. Я. Крищенович, Б. А. Медведев, Лабораторные занятия по топографии с основами геодезии. Вышэйшая школа, Минск ²1979. – F. A. Shepherd, Engineering Surveying. Edward Arnold, London ²1983. – I. Živković, Topografski planovi. Naučna knjiga, Beograd ¹1983. – O. C. Razumov, B. G. Ladonnikov, N. B. Angelova, A. G. Parakonov, И. И. Ранов, Инженерная геодезия в строительстве. Высшая школа, Москва 1984. – W. Großmann, H. Kahmen, Vermessungskunde I. Walter de Gruyter, Berlin-New York ¹⁶1985. – S. Macarol, Praktična geodezija. Tehnička knjiga, Zagreb ⁴1985.

K. Šimić

RADIJACIJSKA KEMIJA, grana kemije koja istražuje fizičko-kemijske promjene nastale kao posljedica apsorpcije visokoenergetskog, ionizirajućeg zračenja u tvari. Pod ionizirajućim (ionizantnim) zračenjem razumije se nuklearno zračenje koje je u stanju višestruko ionizirati tvari (v. *Nuklearno zračenje*, TE 9, str. 535).

Iako je prisutno od postanka svijeta, tek mogućnost da se eksperimentalno proizvede pod kontroliranim uvjetima učinila je zračenje predmetom znanstvenog istraživanja. To su omogućila otkrića rendgenskih zraka (W. C. Röntgen, 1895) i radioaktivnosti (H. Becquerel, 1896). Ubrzno je utvrđeno da se voda, u kojoj su ottopljene radijeve soli, razlaže na vodik, kisik i vodik-peroksid, te da se i drugi spojevi mogu razgraditi djelovanjem zračenja, što je po ugledu na elektrolizu nazvano *radiolizom*.

Razvoj snažnih generatora rendgenskog zračenja za industrijske i medicinske svrhe poslijeprovoga svjetskog rata unaprijedio je tehničke mogućnosti istraživanja i potaknuo interes za biološke učinke zračenja. Intenzivan razvoj

radijacijske kemije bilježi se od 1942. godine, kad su u američkom nuklearnom programu počela svestrana istraživanja o djelovanju zračenja na različite konstrukcijske materijale nuklearnih reaktora. Sve veća pristupačnost izvora zračenja poslije rata poticala je na istraživanje svih aspekata djelovanja zračenja.

Teorijska podloga za tumačenje kemijskih učinaka zračenja, razrađena na modelu za vodu, zasnivala se na pretpostavci o radiolitičkoj disocijaciji molekula vode na reducirajući čestici H^- i oksidirajući čestici $\cdot\text{OH}$ (radikalni mehanizam radiolize; J. L. Magee, 1953). Istodobno je R. L. Platzman pretpostavio da se dio elektrona izbačenih elektrolizom ne rekombinira odmah, nego da ima dovoljno vremena da uzrokuje polarizaciju okolnih molekula pretvarajući se u solvatirane elektrone. Donekle stabilizirani elektron može se solvatacijom udaljiti od svoga pripadnogиона i difundirati u otopinu, gdje bi se morao kemijski očitovati kao kratkoživeća, ali zasebna kemijska čestica – jedinični nukleofilni reagens. Time su u radijacijsku kemiju uvedeni ionski mehanizmi i concepcija promatranja pojava s obzirom na vrijeme.

Zaista, eksperimenti su pokazivali da radiolizom vode, osim H^- , nastaje još jedna reducirajuća čestica koja nosi naboj – 1. Solvatirani elektron opažen je izravno primjenom kratkotrajnog pulsa zračenja, nakon kojega je snimljen apsorpcijski spektar s vremenom razlučivanja reda veličine mikrosekunde (E. J. Hart, J. W. Boag, 1962). Razvoj elektronike ubrzo je omogućio snimanje s razlučivanjem u nanosekundama (J. W. Hunt, J. K. Thomas, 1967) i pikosekundama (M. J. Bronskill, J. W. Hunt, 1969), a primjenom lasera moglo su se opaziti pojave s vremenom razlučivanja reda veličine femtosekunde (C. V. Shank, 1982).

Zahvaljujući sve finijem vremenu razlučivanja i sve raznovrsnijim metodama detekcije, radijacijska se kemija sve više bavila reaktivnim česticama nastalim djelovanjem zračenja, a sve manje analizom stabilnih produkata radiolize, tj. težiste se zanimanja premještalo s posljedicu na uzroke. Suvremena je radijacijska kemija zapravo kemija reaktivnih intermedijera: elektrona, iona, uzbudjenih molekula i slobodnih radikala. Sudjelovanje tih čestic utvrđeno je u mnogim kemijski i biološki važnim procesima, a metode radijacijske kemije pokazale su se kao elegantan način njihove izoliranе i selektivne priprave.

Tehnološka primjena zračenja (v. *Radijacijska tehnologija*) ima svoj korijen također u fizikalno-kemijskim učincima zračenja, bilo da se radi o biocidnom učinku (djelovanje zračenja na prirodne makromolekule, DNA), bilo o djelovanju na monomere i sintetske polimere. Neke od primjena zračenja, kao što je zračenje namirnica, moglo su se jače razviti tek pošto su prikupljene znanstvene spoznaje omogućile razumijevanje mehanizma radiolize i postigle moć predviđanja ponašanja cijelih skupina namirnica i pojedinih njihovih kemijskih spojeva. Moć predviđanja radijacijske kemije zamjenjuje nemogućnost da se načini potpuna kemijska analiza koja bi obuhvatila apsolutno sve proizvode, što u kontekstu dostupnog znanja omogućuje procjenu tehnološke izvedivosti, ali i zdravstvene ispravnosti ozračenih namirnica.

Ionizirajuće zračenje jedan je od oblika u kojima se energija može predati tvari. Toplinom i zračenjem inicirane kemijske reakcije samo su različiti aspekti kemije, za koje vrijede iste zakonitosti i isti modeli. Razlike su između toplinske aktivacije te fotokemijske i radijacijskокемиjske aktivacije u veličini obroka dovedene energije i mehanizmu pohrane te energije u sustavu. Prilikom dovodenja toplinske energije, molekule nakupljaju energiju u malim obrocima, od jednog do drugog povoljnog sudara. Primljena energija raspoređuje se na sve moguće oblike uzbude, pa se radi o translacijskoj, rotacijskoj, vibracijskoj i elektronskoj energiji.

Apsorpcija energije svjetlosnog zračenja određene valne duljine strogo je specifična: njen su rezultat uvijek određena elektronski uzbudena stanja, i to samo onih molekula koje su apsorbirale kvant svjetla. Veća energija uzbudjenih stanja čini termodinamički mogućim i one reakcije koje su nemoguće u osnovnom stanju. Kemijske pretvorbe molekula u elektronski uzbudjenim stanjima istražuje fotokemija (v. *Fotokemija*, TE 5, str. 597).

Djelovanje ionizirajućeg zračenja nije specifično. Energija zračenja koja se primjenjuje u radijacijskoj kemiji uglavnom je mnogo veća od ionizacijske energije molekula sredine. Stoga je rezultat svake interakcije zračenja i tvari ionizacija sredine. Elektroni izbačeni u procesu ionizacije sposobni su da dalje ioniziraju i ekscitiraju molekule sredine uzduž traga svoje putanje, što se ponavlja s nekoliko uzastopnih generacija elektrona (sekundarni elektroni). Tako nastaju produkti djelovanja ionizirajućeg zračenja, koji su u početku nehomogeno raspodijeljeni uzduž traga putanje ionizirajućih čestica. Iz ionskog karaktera tih produkata, njihove visoke energije i početno visoke lokalne koncentracije slijede i sve specifičnosti radijacijske kemije.

Predaja i apsorpcija energije ionizirajućeg zračenja u tvari. Slično Grothus-Draperovu zakonu fotokemije može se i za ionizirajuće zračenje tvrditi da će intenzitet kemijskih projekcija u sustavu biti proporcionalan energiji zračenja koja se u njemu apsorbira. To vrijedi za sve oblike ionizirajućeg zračenja: elektromagnetsko zračenje visokih energija (u prvom redu γ -zračenje) i zračenje u obliku električki nabijenih i neutralnih čestica (v. *Nuklearno zračenje*, TE 9, str. 545). Konstanta te proporcionalnosti naziva se *radijacijskокемijski prinos*:

$$G(X) = \frac{n(X)}{E}, \quad (1)$$

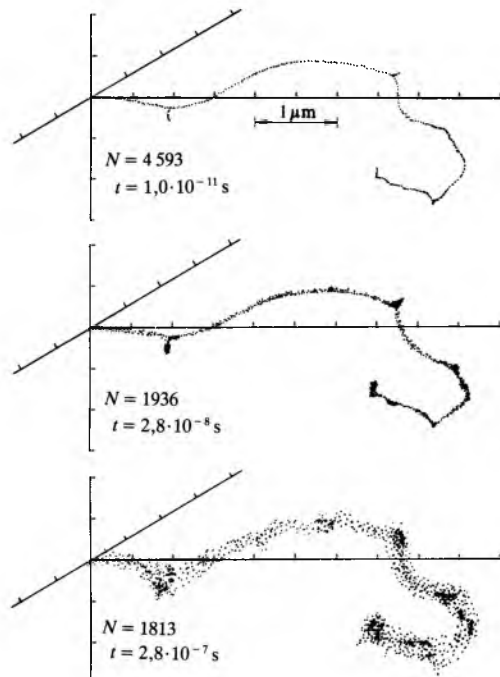
gdje je $n(X)$ množina tvari X koja nastaje, nestaje ili se kemijski mijenja zbog apsorpcije energije E u ozračenoj tvari. Jedinica radijacijskокемijskog prinosa jest mol/J.

Na fotonu *elektromagnetskog zračenja* mogu u tvarima djelovati elektroni iz atomskog omotača i polje atomske jezgre. Kako su ta međusobna djelovanja malo vjerovatni, slučajni procesi, to većina fotona prolazi kroz tvari bez promjene svog stanja. Međutim, ako se takav proces (pojedinačni sudar) ipak dogodi, foton koji je u njemu sudjelovao bitno mijenja svoje stanje, gubi svu svoju energiju ili velik njen dio te se uklanja iz primarnog fotonskog snopa (apsorbira se ili rasprši). Za radijacijsku je kemiju važno nekoliko najvjerojatnijih procesa kojima se apsorbiraju fotoni: fotoelektrični efekt, Comptonov efekt i tvorba parova (v. *Nuklearno zračenje*, TE 9, str. 548). Bitno je da se u svakom od njih osloboda iz atoma po jedan elektron, dakle zbiva se proces ionizacije.

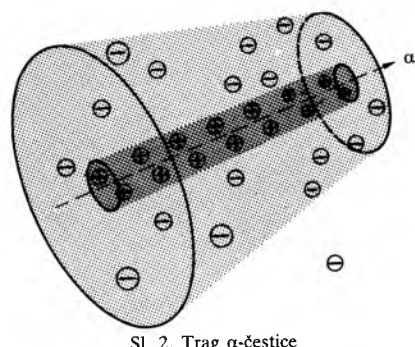
Ionizirajuće zračenje u obliku *električki nabijenih čestica* (protoni, deuteroni, α -čestice, elektroni) gubi energiju prilikom prolaska kroz tvari zbog izravne kulonske interakcije s elektronima iz atomskog omotača. Nabijene se čestice nakon mnoštva sudara zaustavljaju, a njihova se energija predaje elektronima iz omotača, pobuduje ih u viša energijska stanja, a mnogi od njih i napuštaju atome, tj. ponovno se zbiva proces eksitacije i ionizacije. Gubitak energije brzih nabijenih čestica opisan je Betheovom relacijom (v. *Nuklearno zračenje*, TE 9, str. 545). Ta relacija definira gubitak energije teško nabijene čestice po jedinici duljine traga, dakle gradijent gubitka energije ($-dE/dx$), a sadrži nekoliko, za radijacijsku kemiju, važnih činjenica: a) Brzina kojom nabijene čestice gube energiju razmjerna je elektronskoj gustoći sredine. Na osnovi toga može se smatrati da zaključci opažanja u plinovitoj fazi, npr. u Wilsonovoj komori, vrijede i za kondenziranu fazu. b) Budući da brzina čestice iskazana izvan logaritamskog izraza mnogo više utječe na gradijent gubitka energije, čestica gubi to više energije što je sporija. c) Dvije čestice jednakе energije ali različitih masa imaju različite vrijednosti gradijenta gubitka energije; čestica veće mase ima manju brzinu i zato veći gradijent. d) Kemijski sastav sredine nema osobita utjecaja na gradijent gubitka energije, jer je ovisnost o srednjoj ionizacijskoj energiji logaritamska. Svi su elektroni otprilike podjednako djelotvorni u preuzimanju energije od nabijenih čestica. Udio energije što ga apsorbira jedna komponenta smjese razmjeran je doprinisu te komponente elektronskoj gustoći smjese.

Prostorna i vremenska raspodjela primarnih dogadaja u radiolizi. Betheova jednadžba kao teorijska podloga i Wilsonova komora kao eksperimentalno sredstvo pomogli su razvoju concepcije o prostornoj raspodjeli primarnih dogadaja u radiolizi. Pod primarnim se dogadajima razumiju pojedinačni dogadaji prijenosa energije zračenja na atome ili molekule. Rezultat apsorpcije bilo je koje vrste ionizirajućeg zračenja jest nastajanje ionskih i uzbudjenih čestica uzduž tragova nabijenih čestica. Trag nabijene čestice u Wilsonovoj komori pojavi se koja dugo traje i ovisna je o kondenzaciji, dok je trag u radijacijskoj kemiji izvanredno kratkotrajna pojava iz koje slijede kemijske reakcije u korelaciji s deponiranim energijom. Trag je u radijacijskoj kemiji geometrijski pojam koji se ne može izravno eksperimentalno

opaziti, ali njegova je evolucija u posljednje vrijeme predmet matematičkog modeliranja (sl. 1).



Sl. 1. Evolucija traga elektrona početne energije 20 keV u vodi (N broj reaktivnih čestica, t vrijeme proteklo od ionizacije u ishodištu koordinatnog sustava)



Sl. 2. Trag α-čestice

Prosječna vrijednost gradijenta gubitka energije nabijenih čestica energije 10 MeV u vodi je: za elektrone $\sim 0,1 \text{ eV/nm}$, za protone $\sim 10 \text{ eV/nm}$, a za α -čestice $\sim 100 \text{ eV/nm}$. Budući da optička aproksimacija daje najvjerojatniji gubitak energije od nekoliko eV do nekoliko desetaka eV, vidi se da su primarni događaji udaljeni $100 \dots 1000 \text{ nm}$ uzduž traga brzog elektrona, a svega $0,1 \dots 1 \text{ nm}$ uzduž traga α -čestice. Tako se *trag brzog elektrona* sastoji od međusobno izoliranih događaja koji su lokalizirani u malim zonama zvanim *izdancima*. *Trag α-čestice*, naprotiv, predstavlja kontinuiranu zonu (sl. 2) s velikom lokalnom koncentracijom reaktivnih čestica (pozitivnih iona, elektrona i uzbudenih molekula). *Tragovi protona* mogu se zamisliti kao kombinacija izoliranih malih sferičnih zona i duljih cilindričnih zona. Neki od sekundarnih elektrona kojima je energija dovoljna da se udalje od mesta nastanka stvaraju kraće tragove koji se granaju od primarnog traga. Mjestimično se predaje nešto veći obrok energije od prosječnog, pa na tom mjestu nastaje tzv. *mjeherić*. Relativni udio kratkih tragova, izdanaka i mjeherića u ukupno predanoj energiji teorijski je procijenjen u vodi kao funkcija energije upadnog elektrona (sl. 3).

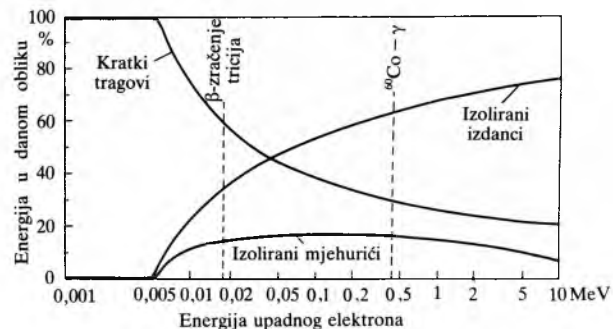
Razlike u kemijskim učincima različitih vrsta zračenja, dakle u količinama i vrstama produkata, potječu od razlika u prostornoj raspodjeli reaktivnih čestica u ozračenoj sredini. Različite vrste zračenja u plinovima daju slične produkte, dok se u tekućinama nastale reaktivne čestice nalaze u nekoj vrsti

kaveza, iz kojega ih okolne molekule sprečavaju da se razidu, pa je tu vjerojatnost međusobnih reakcija veća. Zato u tekućinama α -zračenje djeluje u prvom redu na otapalo, a rendgensko i γ -zračenje na otopljenu tvar.

Najkraći vremenski interval o kojemima ima smisla raspravljati u radijacijskoj kemiji, a odnosi se na predaju prosječnog obroka energije, ΔE , od $\sim 30 \text{ eV}$, može se izračunati iz Heisenbergova načela neodređenosti

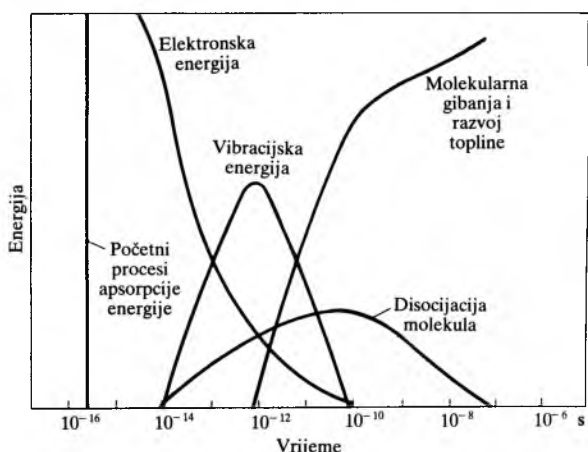
$$t = \frac{\hbar}{\Delta E} = 2 \cdot 10^{-17} \text{ s}, \quad (2)$$

gdje je \hbar reducirana Planckova konstanta. Da bi elektron energije 30 eV prešao put od 0,4 nm, koliko iznosi prosječna udaljenost između centara molekula vode, potrebno je oko 10^{-16} s . Nakon desetak sudara, što traje oko 10^{-15} s , energija elektrona padne na razinu nižu od one kojom se mogu ekskitirati molekule sredine, pa se takvi elektroni zovu *subekscitacijski*. Budući da više nisu sposobni za vrlo brze interakcije s elektronskim sustavima molekula sredine, subekscitacijski elektroni gube energiju sporijim procesima, uzrokujući atomska gibanja (vibracije i rotacije), a konačni je rezultat razvijanje topline. S obzirom na procese ionizacije i eksitacije, ti su procesi oko 10^4 puta sporiji. Promatrano u vremenu nakon djelovanja zračenja, energija elektrona brzo opada do subekscitacijske razine. Kako je dalji gubitak energije mnogo sporiji, broj subekscitacijskih elektrona raste i zadržava se u određenom vremenskom intervalu kao posebna populacija čestica. Time završava tzv. fizikalni stupanj predaje energije zračenja. Pojave i procesi u tom stupnju pristupačni su za sada samo teorijskoj obradbi, jer zbog kratkoće trajanja izmišlju izravnim opažanjima.



Sl. 3. Raspodjela energije koja se troši za stvaranje kratkih tragova, izdanaka i izoliranih mjeherića u vodi

Na početku sljedećeg, fizikalno-kemijskog stupnja, vremenski interval $10^{-14} \dots 10^{-12} \text{ s}$ karakteriziran je frekvencijom vibracije kemijskih veza. U tom vremenu uzbudene molekule disociraju, tj. nastaju kemijske promjene. U intervalu do 10^{-12} s ističu se i druga molekularna gibanja, pa tako dobiva smisao i pojma lokalna temperatura izdanka. Zračenja s



Sl. 4. Raspodjela energije u izdanku kao funkcija vremena (u egzotermnim je reakcijama razvijena toplina veća od predane energije)

malim gradijentom gubitka energije, koja proizvode međusobno udaljene izdanke, ne uzrokuju znatniji porast lokalne temperature (sl. 4). Nakon uspostavljanja lokalne temperaturе, najveći dio energije prelazi u toplinu (na tom se zasniva primjena kalorimetrije u dozimetriji zračenja), a dio energije sadržan je i u uzbudenim stanjima, kojima dalja sudsina bitno ovisi o prirodi sredine.

Da bi se između čestica aktiviranih u izdanku i čestica otopljene tvari zbile kemijske reakcije, čestice moraju jedne k drugima difundirati, što zahtijeva mnogo više vremena, $10^{-8} \dots 10^{-6}$ s. U tom intervalu počinje, dakle, kemijski stupanj predaje energije zračenja.

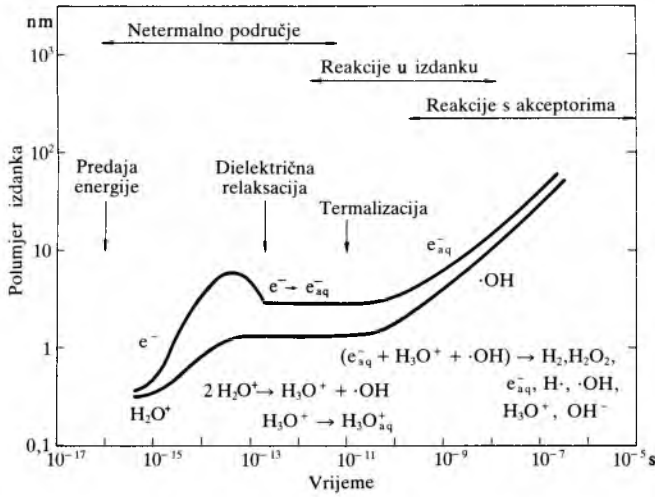
nje apsorbirane energije E u nazivniku izraza (1), tj. poznavanje svih relevantnih veličina koje karakteriziraju polja zračenja i njihova međudjelovanja na tvar. Mjerjenje apsorbirane energije zadatak je dozimetrije (v. *Dozimetrija ionizujućih zračenja*, TE 3, str. 387; v. *Nuklearno zračenje*, TE 9, str. 556), a ozračivanje pod kontroliranim uvjetima obavlja se pomoću *izvora zračenja*. S obzirom na poreklo zračenja razlikuju se dva tipa izvora: radionuklidni izvori i akceleratori.

Kao radionuklidni izvori (v. *Radiokemija i radionuklidi*) u radijacijskoj se kemiji, zbog prikladnog vremena poluras-pada i energije prodornog γ -zračenja, upotrebljavaju uglav-

Tablica 1
VREMENSKI SLIJED DOGAĐAJA U RADIOLIZI VODE

	Vrijeme s	Događaji	Reakcije	Prisutne čestice
Fizikalni stupanj	10^{-18}	Elektron energije 1 MeV prijeđe promjer molekule	$\text{H}_2\text{O} \rightsquigarrow [\text{H}_2\text{O}^+ + \text{e}^-]$	$[\text{H}_2\text{O}^+, \text{e}^-]$
	10^{-17}	α -čestica energije 1 MeV prijeđe promjer molekule	$\text{H}_2\text{O} \rightsquigarrow [{}^1\text{H}_2\text{O}^* + {}^3\text{H}_2\text{O}^*]$	$[{}^1\text{H}_2\text{O}^*, {}^3\text{H}_2\text{O}^*]$
	10^{-16}	Energija sekundarnih elektrona opada na razinu nižu od ionizacijske energije sredine		
Fizikalno-kemijski stupanj	10^{-14}	Ion-molekulne reakcije u tekućini	$[\text{H}_2\text{O}^+ + \text{H}_2\text{O}] \rightarrow [\text{H}_3\text{O}^+ + \cdot\text{OH}]$	$[\text{H}_3\text{O}^+, \cdot\text{OH}]$
	10^{-13}	Disocijacija uzbudenih molekula iz repulzivnih stanja	$[{}^1\text{H}_2\text{O}^*] \rightarrow [\text{H}^+ \cdot \cdot\text{OH}]$	$[\text{H}^+, \cdot\text{OH}]$
	10^{-12}	Energija sekundarnih elektrona svedena na termalnu (0,025 eV)	$[\text{H}_3\text{O}^+ + \text{e}^-] \rightarrow [\text{H}_2\text{O} + \text{H}^-]$	$[\text{H}_2\text{O}, \text{H}^-]$
Kemijski stupanj	10^{-11}	Rekombinacija iona i radikala u izdancima	$[\text{H}^+ + \cdot\text{OH}] \rightarrow [\text{H}_2\text{O}]$	$[\text{H}^-, \cdot\text{OH}, \text{e}_{\text{aq}}^-, \text{H}_3\text{O}^+]$
	10^{-10}	Radikalni difundiraju promjer molekule	$\text{e}^- \rightarrow \text{e}_{\text{aq}}^-$	$[{}^1\text{H}_2\text{O}^*]?$
	10^{-8}	Solvatacija iona i elektrona	$[\text{H}^+ + \cdot\text{OH}] \rightarrow \text{H}_2\text{O}$	$\text{H}^-, \cdot\text{OH}, \text{e}_{\text{aq}}^-, \text{H}_3\text{O}^+$
	10^{-7}	Difuzijski kontrolirane reakcije u tekućini	$[2\text{H}^-] \rightarrow \text{H}_2$	$\text{H}_2, \text{H}_2\text{O}_2$
	10^{-4}	Ion-molekulne reakcije u plinu pri 1 bar	$[2\cdot\text{OH}] \rightarrow \text{H}_2\text{O}_2$	
	10^0	Završeno formiranje molekularnih produkata u tragovima α -čestica	$[\text{e}_{\text{aq}}^- + \cdot\text{OH}] \rightarrow \text{OH}^-$	${}^3\text{H}_2\text{O}^*?$
		Završeno formiranje molekularnih produkata u izdanku γ -zraka		
		Završeno formiranje molekularnih produkata u izdanku u tragu elektrona energije 1 MeV		
		Vrijeme života tripletno uzbudenog stanja		
		Završene kemijske reakcije		

${}^1\text{H}_2\text{O}^*$, ${}^3\text{H}_2\text{O}^*$ molekule vode u singletno uzbudenom, odnosno tripletno uzbudenom stanju;
uglate zagrade označuju da se procesi i čestice nalaze u izdancima.



Sl. 5. Prostorno-vremenski razvoj izdanka u vodi

Vremenski slijed događaja u radiolizi ilustriran je u tablici 1 na primjeru vode, a prostorno-vremenski razvoj izdanka prikazan je na slici 5.

EKSPERIMENTALNA TEHNIKA

Osim vlastitog znanstvenog sadržaja i historijskog razvoja, radijacijska se kemija odlikuje, s obzirom na druge grane kemije, specifičnim eksperimentalnim tehnikama. Sama je definicija radijacijske kemije operacionalna i prepostavlja kontroliranu upotrebu ionizirajućeg zračenja, što je prva specifičnost. Drugim riječima, to znači kvantitativno poznavanje

nom samo dva radionuklida: kobaltov radionuklid ^{60}Co i cezijev radionuklid ^{137}Cs . Od akceleratora (v. *Akceleratori nuklearnih čestica*, TE 1, str. 39) najčešće se primjenjuju akceleratori elektrona, rijed protona, a težih iona samo izuzetno i vrlo rijetko. Akcelerator komercijalnog naziva Febetron odlikuje se velikom dozom u pulsu, ali mu je zbog niske energije elektrona (do 2 MeV) upotreba ograničena na tanke uzorke. Nešto veću energiju elektrona, do 4 MeV, postiže Van de Graaffov akcelerator. Najfleksibilniji je linearni akcelerator, pomoću kojega se mogu postići vrlo velike energije elektrona, a trajanje pulsa i doza u pulsu mogu varirati u širokim granicama.

Pulsna radioliza

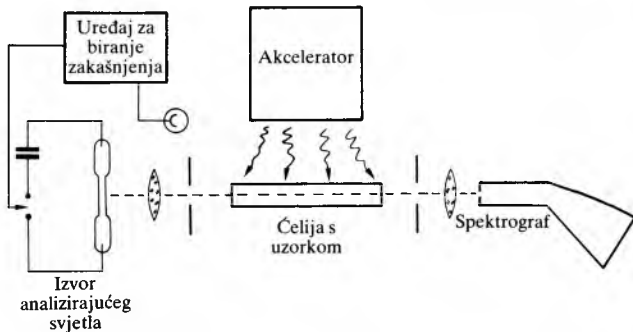
Istraživanju kemijskih posljedica djelovanja zračenja, tj. prirode i količine kemijskih promjena, što je sadržano u brojniku izraza (1), može se pristupiti nakon uspostavljanja termodinamičke ravnoteže, dakle nakon završetka kemijskog stupnja djelovanja zračenja. Nedostatak je takva rada u tome što se tada mogu registrirati samo trajne kemijske promjene i izmjeriti količina nastalih stabilnih produkata, a o procesima koji su im prethodili može se samo nagadati. Za taj su pristup na raspolaganju sva sredstva analitičke kemije, pa se prema tome ta istraživanja ne razlikuju od onih u drugim granama kemije.

Međutim, kemijske posljedice djelovanja zračenja mogu se ispitivati i kinetičkim pristupom, što je druga specifičnost radijacijske kemije. Naime, tim se načinom nastroje izravno pratiti kemijske promjene u vremenu u kojem se odvijaju. Takva metoda, razvijena za specifične potrebe radijacijske kemije, omogućila je razumijevanje i potakla interes za međustupnje kemijskih reakcija o kojima se ranije samo posredno zaključivalo, te omogućila rješavanje i drugih

pitanja veoma važnih za kemiju, biokemiju i biofiziku. Ta je metoda nazvana *pulsnom radiolizom*, a usavršila se kao posljedica razvoja akceleratorske tehnologije i elektronike. Ona se temelji na predaji energije zračenja u intenzivnim i kratkotrajnim pulsovima iz prikladnog akceleratora (npr. Van de Graaffova), te na neposrednom detektiranju i karakteriziranju nastalih kratkoživećih produkata na osnovi njihovih optičkih, električnih, magnetskih i drugih svojstava. Velik intenzitet zračenja potreban je za stvaranje mjerljivih koncentracija radiolitičkih produkata, a kratko trajanje pulsa (red veličine nekoliko ns), u usporedbi s trajanjem života nastalih produkata, potrebno je kako bi se oni nakon prestanka pulsa zračenja još mogli mjeriti.

Mjerenje apsorpcije svjetlosti. Ako ozračivanjem uzorka nastaju čestice koje apsorbiraju svjetlost, njihova se prisutnost može otkriti mjerenjem intenziteta analizirajuće svjetlosti koja se propušta kroz uzorak za vrijeme ozračivanja. Promjena signala s vremenom daje podatak o brzini nastajanja i nestajanja čestica, amplituda signala proporcionalna je njihovoj koncentraciji, a promjenom valne duljine svjetlosti može se snimiti njihov spektar i tako one kvalitativno odrediti.

Pulsna spektrografija korisna je u preliminarnim eksperimentima za kvalitativno utvrđivanje područja apsorpcije kratkoživećih čestica i njihova ponašanja u vremenu (sl. 6). Prvo se snima spektar izvora analizirajuće svjetlosti prije uključivanja pulsa akceleratora. Zatim se aktivira akcelerator, a s odabranim zakašnjenjem i izvorom analizirajuće svjetlosti. Snop svjetlosti nailazi tada na kratkoživeće čestice, koje je proizveo puls zračenja iz akceleratora, i djelomično se apsorbira, pa se taj spektar razlikuje od ranijeg. Niz snimaka s različitim zakašnjenjem za pulsom zračenja informira o brzini promjene apsorpcije na različitim valnim duljinama.



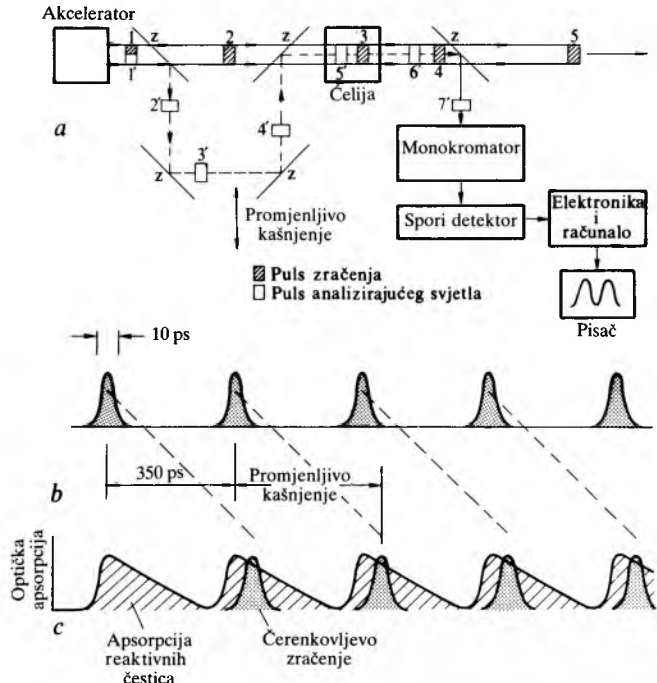
Sl. 6. Shema pulsne spektrografije

Kinetička spektrofotometrija mnogo je osjetljivija na male promjene apsorpcije svjetlosti. Nakon prolaska kroz uzorak snop analizirajuće svjetlosti vodi se kroz monokromator za odabiranje valne duljine na kojoj se promatra promjena. Konačno se svjetlosni signal pretvara u električni pomoću fotomultiplikatora i registrira pomoću osciloskopa. Opisanim se metodama mogu opaziti vremenski vrlo bliske pojave, i to uz vrijeme razlučivanja od 3 ns, što je određeno trajanjem pulsa elektrona i vremenom odziva elektroničkog sustava za detekciju.

Stroboskopska pulsna radioliza. Primjenom tzv. fine strukture pulsa elektronskog akceleratora, koja se sastoji od niza uzastopnih pulsova, svaki u trajanju od 10 ps, a međusobno vremenski razmaknutih 350 ps, postignuto je vrijeme razlučivanja reda veličine 30 ps. Kao analizirajuća svjetlost primjenjuje se Čerenkovljevo zračenje, koje, pošto izade iz akceleratora, proizvodi sâm puls elektrona u vremenskim razmacima koji odgovaraju finoj strukturi pulsa. Čerenkovljevo je zračenje elektromagnetsko zračenje koje se emitira kad električki nabijene čestice prolaze nekim sredstvom brzinom većom od fazne brzine svjetlosti u tom sredstvu (pojava se može usporediti s akustičkim udarnim valom što ga proizvodi avion koji leti brže od zvuka).

Dok mikropulsovi elektronskog zračenja (1, 2, 3, 4 i 5 na sl. 7a) nastavljaju pravocrtno gibanje od akceleratora kroz

tanku zrcala z i čeliju, Čerenkovljevo se zračenje, nastalo između akceleratora i prvog zrcala, reflektira na tom zrcalu i skreće obilaznim putem ($2'$, $3'$, $4'$) kroz čeliju, u koju stiže s malim zakašnjenjem za jednim od ranijih mikropulsova elektrona (3). Ako je mikropuls elektrona (sl. 7b) proizveo apsorbirajuću česticu, dio će se Čerenkovljeva zračenja apsorbirati, pa će se, kao i u kinetičkoj spektrofotometriji, nakon prolaska kroz monokromator registrirati smanjenje signala i njegova vremenska promjena (sl. 7c).



Sl. 7. Načelna shema stroboskopske pulsne radiolize i optičke detekcije pomoću Čerenkovljeva zračenja. a) aparatura, b) fina struktura pulsa elektrona i istodobni pulsovi Čerenkovljeva zračenja, c) nastajanje i opadanje apsorpcije reaktivnih čestica što ih stvaraju pulsovi elektrona, a analiziraju pulsovi Čerenkovljeva zračenja

Mjerenje vodljivosti. Budući da ionizirajuće zračenje stvara nabijene čestice u ozračenoj sredini, promjena vodljivosti sredine u vremenu pruža informaciju o kinetici reakcija nabijenih čestica. Na elektrode u otopini primjeni se napon, pa se mjeri promjena vodljivosti u vremenu nakon pulsa zračenja. Iako je izmjerena vodljivost uvijek zbroj doprinosa svih prisutnih nabijenih čestica, dobivena informacija ponekad dopunjuje ili zamjenjuje informaciju dobivenu optičkim metodama.

Mjerna se čelija može uključiti u dva različita sklopa: u djelitelj naponu i u most. U sklopu s djeliteljem napona obično se primjenjuje istosmjerni napon. Čelija je povezana s protočnim sustavom pomoću kojega se njen sadržaj može zamijeniti svježom otopinom poslije svakog pulsa. Da bi se izbjegla elektroliza otopine i polarizacija elektroda, polaritet elektroda mijenja se relejem 10...100 puta u sekundi. Pomoću uređaja za biranje zakašnjenja puls elektrona iz akceleratora može se aktivirati u bilo koje željeno vrijeme nakon promjene polaritet.

Sklop s mostom primjenjuje uglavnom izmjenični napon, a sastoji se od dvostrukе čelije, mjerne i referentne, spojene u most. Promjena vodljivosti zbog ozračenja jedne od grana mosta javlja se kao izlazni napon, koji se filtrira i pojačava, a predznak mu ovisi o smjeru poremećaja mosta.

Mjerenje signala elektronske spinske rezonancije. Kemijskim, fotokemijskim i radijacijskokemijskim djelovanjem na atome, ione ili molekule mogu se proizvesti čestice s nesparenim elektronima. To mogu biti radikalni ioni nastali adicijom ili gubitkom jednog elektrona, neutralni radikali nastali cijepanjem kemijskih veza ili uzbudena tripletna stanja molekula. Vrijeme života čestica ovisi o njihovoj prirodi i

uvjetima sredine u kojoj se nalaze, a varira od pikosekunda do gigasekunda.

Mogućnost detekcije čestica s nesparenim elektronima pruža spektroskopija elektronske spinske rezonancije, što je jedna od suvremenih instrumentalnih metoda analitičke kemije (v. Spektrometrija). Za studij kratkoživećih čestica, kakve nastaju radijacijskokemijskim djelovanjem, ne može se upotrijebiti konvencionalni spektrometar za stacionarna mjerena koji radi uz tipičnu frekvenciju modulacije magnetskog polja od 100 kHz i efektivnu vremensku konstantu od 1 s. Stoga se magnetizacija kratkoživećih čestica ispituje pomoću sekvencije pulsova mikrovalnog zračenja koji slijede u nekom fiksnom vremenu nakon nastajanja čestica i kojima se pokriva interesantno magnetsko polje. Drugi je pristup sličan kinetičkoj spektrofotometriji: odabere se vrijednost magnetskog polja za neku liniju u spektru elektronske spinske rezonancije i prati se njena promjena kroz određeno vrijeme.

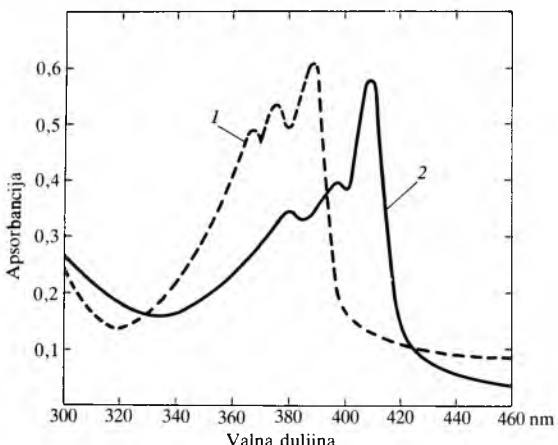
REAKTIVNE ČESTICE

Primarni dogadaji u radijacijskoj kemiji jesu pojedinačni dogadaji prijenosa energije zračenja na atome ili molekule u tvari. Rezultat predaje i apsorpcije energije bilo koje vrste ionizirajućeg zračenja u tvari jest ekscitacija i ionizacija. Nakon prve interakcije zračenja s tvari, prilikom koje se zbiva početna ionizacija, stvaraju se ioni i oslobođaju se primarni brzi elektroni, koji se zatim kreću kroz tvar i postepeno gube svoju energiju uzrokujući dalju, sekundarnu eksitaciju i ionizaciju. Računa se da elektron izbačen s energijom 1 MeV može prije nego što se zaustavi prouzrokovati još do 80000 eksitacija i 40000 ionizacija. Tako uzduž traga putovanja elektrona nastaju primarne čestice u radiolizi: pozitivni ioni, elektroni i uzbudene molekule. To su *reaktivne (intermedijske) čestice* koje reagiraju dalje međusobno, i s molekulama sredine, stvarajući druge ione, uzbudene molekule, slobodne radikale i stabilne produkte.

Pozitivni ioni. Primarni pozitivni ioni nastaju u izravnim interakcijama zračenja s molekulama sredine, npr. s molekulama etanola



(valovita strelica označuje reakciju uzrokovana ionizirajućim zračenjem). Ako zračenje nema naboja (γ -zračenje, neutroni), primarna ionizacija koju izravno proizvede upadno zračenje numerički je zanemariva u usporedbi s ionizacijom koju proizvedu sekundarni elektroni ili odskočni ioni (proizvedeni međudjelovanjem neutrona s tvari). Prilikom nastanka pozitivni ioni imaju različite količine vibracijske i elektronske energije, što je posljedica Franck-Condonova principa (v. Fotokemija, TE 5, str. 598). Ioni s visokom energijom mogu se raspasti fragmentacijom ili preuređenjem, ali se neće raspasti ako se prije toga sudarima oslobođe viška energije. Stoga zračenje u kondenziranoj fazi uzrokuje manju fragmentaciju molekula nego ista doza u plinskoj fazi.



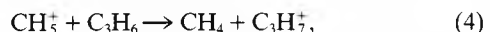
Sl. 8. Spektar apsorpcije pozitivnog (1) i negativnog (2) iona bifenila u 3-metilpentanu pri temperaturi 77 K

Zahvaljujući svom električnom naboju pozitivni ioni mogu se pratiti metodama pulsne radiolize s detekcijom vodljivosti, a mnogi pokazuju optičku apsorpciju (sl. 8).

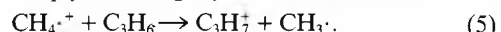
Reakcije iona i neutralnih molekula. Kad ion dođe u blizinu nepolarne neutralne molekule, inducirat će u njoj dipol, što će među njima stvoriti privlačnu silu. Ako se dovoljno približe, atomi i naboje mogu se preuređiti i dati stabilniju konfiguraciju.

Ako ion reagira s molekulom koja posjeduje stalni dipolni moment, efektivnoj brzini reakcije, osim induciranih, pridonoze i stalni dipoli.

Reakcije pozitivnih iona s neutralnim molekulama mogu se klasificirati prema broju nepotpunjenih orbitala u valentnoj ljusci iona. Ioni bez elektronskih šupljina reagiraju predajom protona neutralnim molekulama



a ioni s jednom šupljinom reagiraju kao monoradikalni



Karbokationi reagiraju oduzimanjem hidridnog iona (H^-) iz neutralnih molekula



Izmjena naboja, tj. prijenos elektrona, jedna je od najjednostavnijih reakcija, a zbiva se kad je elektronski afinitet pozitivnog iona veći od ionizacijske energije molekule



Neutralizacija. Zračenje u plinskoj fazi proizvodi makroskopski homogenu, mikroskopski statističku raspodjelu iona i elektrona u ozračenom prostoru. Stvorene se nabijene čestice rekombiniraju, a brzina rekombinacije ovisi o temperaturi, tlaku i kemijskoj prirodi iona. U tekućini ioni se u početku nalaze jedan blizu drugoga u izdancima uzduž traga nabijene čestice koja je uzrokovala ionizaciju. Dio iona neutralizira se još u izdanku sa svojim pripadnim elektronom, a dio difundira u otopenju, pa su neutralizacija u izdanku i difuzija u otopenju konkurentni procesi. Na nekoj temperaturi T oni ovise samo o međusobnoj udaljenosti iona r i o kulonskoj privlačnoj sili $e^2/(\epsilon r)$, gdje je ϵ vremenski ovisna dielektrična konstanta.

Vjerojatnost da neki par suprotno nabijenih iona izbjegne rekombinaciju dana je Onsagerovim izrazom

$$\varphi = \exp\left(-\frac{r_c}{r}\right), \quad (8)$$

gdje je r_c kritična udaljenost na kojoj je termička energija kT jednaka privlačnoj kulonskoj sili. Odatle slijedi da je

$$r_c = \frac{e^2}{kT}. \quad (9)$$

Mjera vjerojatnosti (8) je omjer radijacijskokemijskog prinosa slobodnih iona G_{si} i prinosa ukupne ionizacije G_i (tabl. 2).

Elektroni su univerzalni proizvod svake ionizacije. Izbačeni iz molekula u procesu ionizacije, elektroni se usporavaju jer gube energiju u sudarima s molekulama sredine. U sredinama niske gustoće, tj. u plinovima, elektroni se mogu veoma udaljiti od pripadnog iona. Djelotvornost ionizacije u plinu izražava se energijom (W) potrebnom za stvaranje jednog ionskog para. Vrijednosti energije gotovo su nezavisne od vrste i energije ionizirajućeg zračenja. To se tumači pretpostavkom da se energija, osim za stvaranje ionskog para, troši i na eksitaciju pozitivnog iona, na eksitaciju molekula bez ionizacije i na kinetičku energiju izbačenih elektrona, a ni jedan od tih procesa ne zavisi od energije upadne čestice. Vrijednosti energije W vrlo malo zavise i od vrste spojeva: za vodu i zrak iznose 30 eV, odnosno 34 eV, a za mnoge ugljikovodike 25–30 eV. Ako sredina sadrži primjese kojima je ionizacijska energija niža od ionizacijske energije osnovne komponente, mogu se molekule primjese ionizirati prijenosom eksitacije s osnovne komponente (Penningova ionizacija).

ja), čime se energija efektivno snizuje. Ta se pojava u plemenitim plinovima naziva Jesseov efekt.

Prvi sudari sekundarnih elektrona s molekulama u tekućoj fazi dogadaju se u kulonskom polju pripadnog iona. Ako se elektron termalizira prije nego što napusti polje pozitivnog iona, bit će od njega uhvaćen i rekombinirat će se (neutralizirati) s njim. Za razliku od plinske faze, u kondenziranoj sredini brza neutralizacija onemogućuje izravno opažanje početne ionizacije.

polarizacija zahtijeva vrijeme od svega 10^{-16} s. Budući da elektronu treba 10^{-15} s da pri jede mjesto lokalizacije, ono je već pripremljeno za eventualnu lokalizaciju. S nastajanjem drugih oblika polarizacije potencijalna energija lokaliziranog elektrona zatim se dalje smanjuje (sl. 9).

Najveća promjena potencijalne energije nastaje u polarnoj sredini, a uzrokuje je orientacija permanentnih dipola u električnom polju elektrona; u nepolarnoj tekućini odgovara joj tendencija da molekule orientiraju os najveće polarizabil-

Tablica 2
KARAKTERISTIKE ELEKTRONA U RAZLIČITIM TEKUĆIM SREDINAMA

Sredina	Temperatura K	Dielektrična konstanta	Gibljivost $\text{cm}^2 \text{V}^{-1} \text{s}^{-1}$	Vrijeme termalizacije ps	Put termalizacije nm	Radijaciskokemijski pri-nos slobodnih iona G_{si} $\mu\text{mol J}^{-1}$	$\frac{G_{si}}{G_i}$
Ksenon	161	1,93	2000	5500	120	0,45	0,64
Kripton	121	1,63	1300	2600	200	0,4	0,67
Argon	87	1,54	470	1000	250	0,26	0,52
Helij	4,2	1,06	0,022				
Metan	111		400	22	45	0,113	0,28
Neopentan	296	1,78	70	1,8	21	0,086	0,22
Tetrametilsilan	296	1,84	90	1,1	16	0,074	0,19
2,2,4-trimetilpentan	296	1,94	7	<0,8	10	0,033	0,09
n-heksan	296	1,89	0,1		7	0,013	0,03
Amonijak	240	17,3	0,0091		2	0,33	
Etanol	296	23	0,00025		2	0,10	0,35
Voda	296	78	0,0020	<0,1	1,9	0,265	0,68

G_i prinos ukupne ionizacije

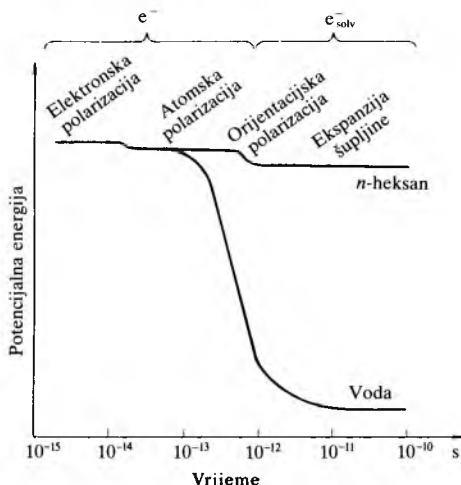
Postoji nekoliko mogućih stanja elektrona koji nisu vezani u atomima ili u molekulama. Slobodna i kvazislobodna stanja su nelokalizirana, dok je uhvaćeni i solvatizirani elektron u lokaliziranom stanju.

Elektron je zaista slobodan samo u vakuumu. U sredini u kojoj postoji slaba interakcija s molekulama elektron je kvazislobodan. Takvi su elektroni u razrijedenim plinovima te u tekućem argonu, kriptonu i ksenonu. Međutim, već je u tekućem heliju odbojna sila između elektrona i jezgara helijevih atoma dovoljno velika da se oko elektrona formira šupljina, tj. da elektron bude lokaliziran. Uhvaćeni elektron prijelazno je stanje koje nije u termodinamičkoj ravnoteži sa sredinom i koje se, već prema dielektričnoj relaksaciji sredine, transformira u solvatizirani elektron. Termalizirani elektron postaje lokaliziran u tekućinama koje se sastoje od polarnih (npr. voda) ili anizotropno polarizabilnih molekula (npr. n-heksan), dok u sferolikim molekularnim sustavima (metan, neopentan) ostaje kvazislobodan. Lokalizirani elektron relaksira se na nižu energetsku razinu kako se molekule oko njega orientiraju prema negativnom naboju. Elektronska

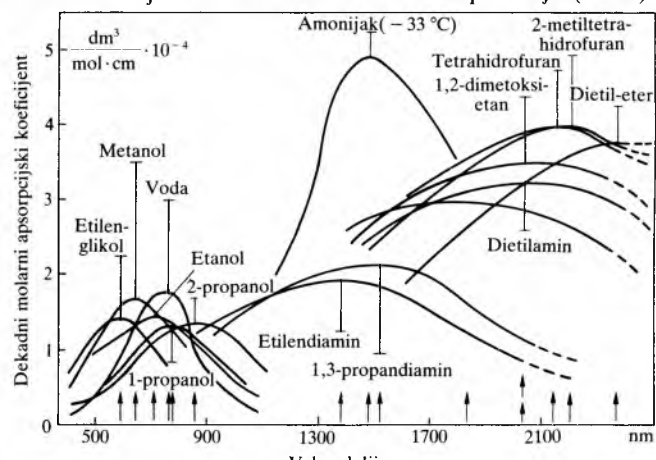
nosti prema polju elektrona. To rezultira prestankom rekonverzije i porastom prinaosa slobodnih iona. Konačno stanje elektrona u termičkoj ravnoteži sa sredinom naziva se solvatiziranim elektronom, e_{solv} . Viša energetska stanja elektrona imaju u žargonu različita imena (vlažni, suhi itd.).

Prinos elektrona ovisi o vremenu proteklom od njegova nastanka. Vremenska zavisnost prinaosa još nije na zadovoljavajući način objašnjena, a postoje i neslaganja u pogledu početne vrijednosti prinaosa elektrona. Nema još ni jedinstvenog tumačenja za razlike vrijednosti prinaosa slobodnih iona u različitim tekućinama (tabl. 2), koji očito ovisi o strukturi molekula, te je to veći što je oblik molekule bliži sfernem obliku. Prinos slobodnih iona u nepolarnim tekućinama veći je što je veća gibljivost elektrona u tim tekućinama. Taj je efekt zanemaren u Onsagerovu izrazu (8), prema kojem vjerojatnost izbjegavanja neutralizacije ne zavisi od gibljivosti, niti od bilo kojeg drugog svojstva iona.

Solvatizirani elektron relativno je stabilna čestica koja živi dosta dugo s obzirom na mogućnost opažanja, pa je spektroskopski i kinetički dobro karakterizirana. Apsorpcijski spektri solvatiziranih elektrona u različitim tekućinama uglavnom se nalaze u vidljivom i bliskom infracrvenom području (sl. 10).



Sl. 9. Promjena potencijalne energije elektrona s vremenom zbog polarizacije sredine



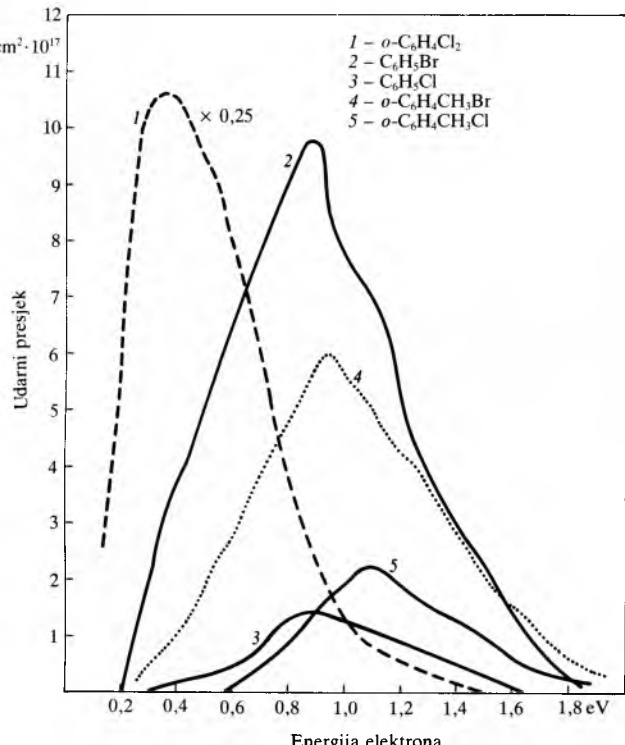
Sl. 10. Spektri optičke apsorpcije solvatiziranih elektrona u različitim tekućinama

Posebno je dobro karakteriziran elektron solvatiziran u vodi, hidratizirani elektron, e_{aq}^- (tabl. 3).

Tablica 3
FIZIKALNO-KEMIJSKA SVOJSTVA ELEKTRONA HIDRATIZIRANOG
U VODI (25 °C)

Svojstvo	Jedinica	Vrijednost
Maksimum optičke apsorpcije	nm	715
Molarni apsorpcijski koeficijent	$\text{dm}^3 \text{mol}^{-1} \text{cm}^{-1}$	$1,85 \cdot 10^4$
Jakost oscilatora		0,71
Difuzijski koeficijent	$\text{cm}^2 \text{s}^{-1}$	$4,90 \cdot 10^{-5}$
Molarna provodnost	$\text{S cm}^2 \text{mol}^{-1}$	190
Gibljivost	$\text{cm}^2 \text{V}^{-1} \text{s}^{-1}$	$1,98 \cdot 10^{-3}$
Redoks-potencijal ($e_{\text{aq}} + \text{H}^+ \rightarrow \frac{1}{2} \text{H}_2$)	V	2,77

O strukturi solvatiziranih elektrona postoje dvije različite koncepcije. Jedna prepostavlja postojanje šupljine na mjestu lokalizacije elektrona, oko koje se struktura otapala uređuje u interakcijama kratkog i dugog doseg-a s elektronom. Druga koncepcija zanemaruje strukturu otapala, a uzima u obzir dielektrična svojstva sredine. Obje koncepcije uspješno tumače neke eksperimentalne činjenice: neke tumače zajednički, neke samo jedna od njih, a nijedna sve.



Sl. 11. Udarni presjeci za disocijativni uhvat elektrona halogeniranim derivatima benzena u plinskoj fazi

Interakcija elektrona s molekulom u plinskoj fazi može se promatrati kao prijelaz iz početnog stanja, u kojem postoje neutralna molekula i elektron u beskonacnoj udaljenosti, u stanje negativnog iona (*elektronski uhvat*). Ako molekula ima pozitivan elektronski afinitet, elektronski uhvat je egzoterman, a toplina reakcije troši se na ekscitaciju negativnog iona. Nastali uzbudeni negativni ion (RX^{-*}) ima više mogućnosti deaktivacije, što ovisi o relativnom položaju krivulje potencijalne energije negativnog iona prema neutralnoj molekuli:



Vjerojatnost interakcija elektrona s molekulama u plinskoj fazi izražava se kao udarni presjek za uhvat $\sigma_u(v)$, koji za određenu molekulu zavisi na karakterističan način od energije elektrona (sl. 11). Radiolitički elektroni posjeduju kompleks-

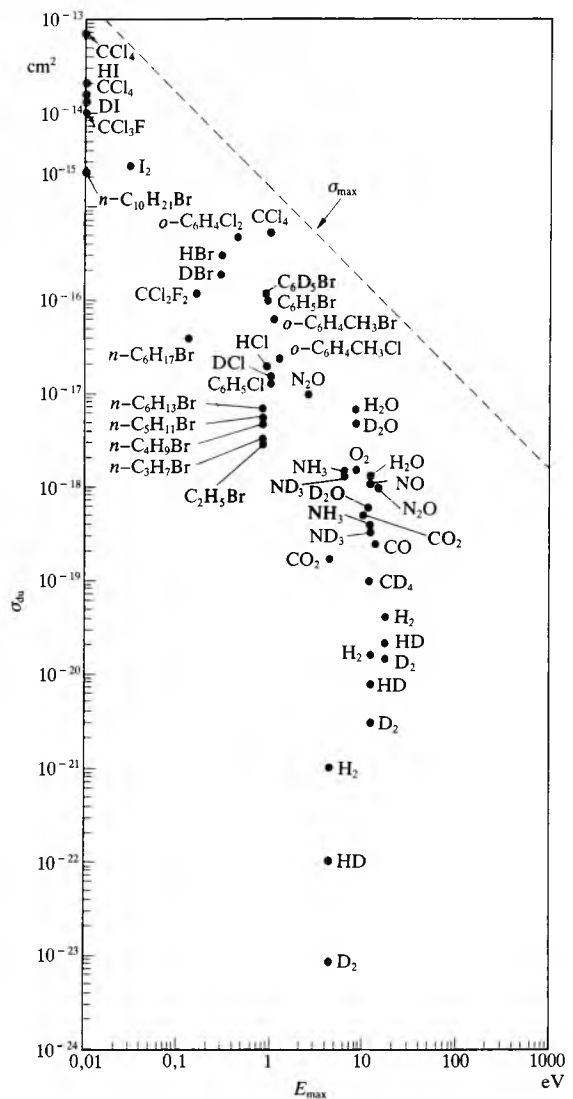
san spektar energija koji normalno nije poznat (za termalne elektrone to je Maxwellova raspodjela). Konstanta brzine za reakciju uhvata, k_u , jednaka je integralu prekrivanja spektara udarnog presjeka i energijskog spektra elektrona ($Y = f(v)$), gdje je Y broj elektrona određene energije, odnosno brzine v),

$$k_u = \int_0^{\infty} v \sigma_u(v) Y dv. \quad (11)$$

Maksimalni udarni presjek funkcija je de Broglieove valne duljine elektrona, λ ($\lambda = \lambda/(2\pi)$),

$$\sigma_{\max} = \pi \lambda^2. \quad (12)$$

Stvarni udarni presjeci za različite molekule razlikuju se i za nekoliko redova veličine od maksimalno mogućeg (sl. 12).



Sl. 12. Maksimalna vrijednost udarnog presjeka za disocijativni uhvat elektrona raznim molekulama kao funkcija energije elektrona s maksimumom rezonancije za uhvat (E_{\max}). Neke su molekule označene u tablici na više mjestu jer je moguć rezonantni uhvat elektrona različitih energija

Za elektron u tekućini može se prepostaviti da dio vremena provodi u kvazislobodnom, a dio u lokaliziranom stanju, te da može reagirati s akceptorom iz bilo kojeg od tih dva stanja. U manje polarnim tekućinama dominiraju reakcije kvazislobodnih elektrona, a u polarnim tekućinama glavni je doprinos solvatiziranih elektrona.

Energija kvazislobodnog elektrona u tekućini s obzirom na energiju slobodnog elektrona u vakuumu naziva se energijom osnovnog stanja, V_0 , i zavisi od prirode tekućine. Postoji paralelizam između energetske zavisnosti konstanti brzina reakcija elektrona s akceptorima u plinovima i

kvasilobodnih elektrona u tekućinama. Energija elektrona u tekućini, E_T , izražena je kao razlika ukupne energije između početnog i konačnog stanja

$$E_T = V_0 - 0,8E(S^-), \quad (13)$$

gdje je $E(S^-)$ energija solvatizacije negativnog iona akceptora, RX^- , u tekućini. Ona je definirana Bornovim izrazom

$$E(S^-) = \frac{\epsilon^2}{d} \left(1 - \frac{1}{\epsilon} \right), \quad (14)$$

gdje je d promjer negativnog iona, a ϵ dielektrična konstanta sredine.

Variranje energije elektrona u tekućini postignuto je variranjem temperature (mijenjanjem V_0) i mjerjenjima u različitim ugljikovodicima (mijenjanjem ϵ). Dobiveno je kvalitativno dobro slaganje s mjerjenjima u plinskoj fazi.

Reakcije elektrona iz lokaliziranog (solvatiziranog) stanja lako je eksperimentalno slijediti pomoću pulsne radiolize. Najčešće se prati brzina nestajanja optičke apsorpcije solvatiziranog elektrona u funkciji koncentracije dodanog reagensa. Tako su izmjerene konstante brzine reakcija solvatiziranih i, osobito, hidratiziranih elektrona s nekoliko tisuća spojeva. Izmjerene konstante brzina nalaze se u širokom rasponu $10^1 \dots 10^{10} \text{ dm}^3 \text{ mol}^{-1} \text{s}^{-1}$. Energijske aktivacije za spore i za brze reakcije približno su jednake, $12 \dots 20 \text{ J mol}^{-1}$, što odgovara energiji aktivacije za difuziju u tekućinama. Odатле se zaključuje da je prvi stupanj reakcije solvatiziranih elektrona difuzija čestica i nastajanje aktiviranog kompleksa, te da su spore reakcije ograničene entropijom aktivacije.

Nasuprot teoriji aktiviranog kompleksa, pojava reakcija s brzinama različitim od onih predviđenih difuzijom tumači se prijenosom elektrona na reagens tuneliranjem kroz potencijalnu barijeru. Koeficijent prijenosa elektrona <1 racionalizira reakcije sporije, a koeficijent >1 reakcije brže od difuzijski kontroliranih. Međutim, budući da je tuneliranje moguće samo između stanja jednake energije, elektroni prelaze samo kada akceptor ima nepotpunjenu orbitalu na razini energije elektrona (energija osnovnog stanja elektrona zavisi od otapala). Tako konstanta brzine reakcije ili vjerojatnost tuneliranja zavisi od naseljenosti energetskih stanja, a to je statistička veličina, kao što je to i entropija aktivacije. Time se približuju prividno proturječne koncepcije aktiviranog kompleksa i tuneliranja.

Primarno reducirani ion može u otopini reagirati mehanizmima koji zavise od prirode iona i od prirode sredine:

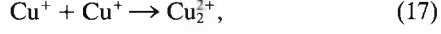
a) monomolekularna disocijacija (disocijativni zahvat)



b) prijenos protona s otapala



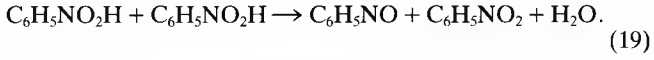
c) asocijacija



d) prijenos naboja



e) disproportionalacija



Uzbudene molekule. Primarna uzbudena stanja molekula nastaju izravno interakcijama elektronskog sustava molekula s nabijenim česticama i fotonima te, neizravno, neutralizacijom iona. Ona mogu nastati i prijenosom energije s drugih uzbudenih molekula i atoma, te unutrašnjom konverzijom ili interkombinacijskom konverzijom iz drugih uzbudenih stanja iste molekule.

Interakcija molekule s nabijenom česticom ili fotonom naziva se *ekscitacijom* ako je energija predana sustavu manja od prve ionizacijske energije molekule. Iako u fotokemiji elektron uglavnom samo prelazi na višu energetsку razinu, fotokemijsko generiranje uzbudenih stanja ipak je slično apsorpciji visokoenergetskog elektromagnetskog zračenja, i

to mehanizmu fotoelektričnog efekta: u oba slučaja, naime, foton se potpuno apsorbiraju, a njihova se energija prenosi na molekulu.

U kondenziranim sredinama najveći se dio energije upadnih čestica troši na ekskcitaciju kolektivnih oscilacija valentnih elektrona. To kolektivno uzbudenje brzo ($10^{-16} \dots 10^{-15} \text{ s}$) prelazi u uzbudena stanja molekula jednake energije karakterizirana prijelazima jednog elektrona. Sadržaj energije takva uzbudenog stanja prelazi ionizacijsku energiju molekule, pa je takva molekula *superekscitirana*. Molekule u superekscitiranim stanjima ponašaju se drukčije nego u diskretnim uzbudenim stanjima energija nižih od ionizacijske energije. Tako se, npr., na superekscitirana stanja ne odnosi pravilo da viša uzbudena stanja moraju pripeti u najniže stanje unutrašnjom konverzijom, nego su mogući i drugi mehanizmi deeksitacije (npr. fragmentacija).

Sastav sredine ne utječe na primarnu ekscitaciju; ekscitacija svake pojedine komponente određena je pripadnim eksitacijskim spektrom. Sastav i priroda sredine, međutim, utječe na dalji tok deeksitacije i sudbinu primarnih uzbudnih stanja.

Prinos uzbudenih stanja u radiolizi tekućina ovisi o prirodi sredine. Prinosi najnižih singletnih i tripletnih uzbudenih stanja mijere se pulsnom radiolizom tako da se prati luminescencija (v. Luminescencija, TE 7, str. 568) iz uzbudenih stanja aromatskih spojeva koji se dodaju u otapalo kao akceptori energije eksitacije (antran, bifenil, naftalen). Visoki prinosi uzbudenih stanja izmjereni su u otapalima s malom dielektričnom konstantom u kojima je favorizirana rekombinacija. U polarnijim je sredinama prinos uzbudenih stanja niži, a vrlo je nizak u polarnim sredinama u kojima dominira razdvajanje naboja (tabl. 4). Iz usporedbe cikloheksana i benzena, koji imaju vrlo slične dielektrične konstante, vidi se, međutim, da polarnost nije jedini faktor koji određuje prinos eksitacije. Takva mjerena ne mogu pružiti uvid u omjer superekscitiranih stanja koja se disociruju i onih koja prelaze u najniža uzbudena stanja koja se tek mogu izmjeriti. Očito je da u svakoj tekućini složeni odnosi autoionizacije, disocijacije, uhvata i rekombinacije određuju prinos najnižih uzbudenih stanja kao konačni ishod radiolize.

Tablica 4
PRINOSI UZBUĐENIH STANJA U RAZLIČITIM TEKUĆINAMA

Tekućina	Dielektrična konstanta	Prinos najnižih uzbudenih stanja ($\mu\text{mol J}^{-1}$)		
		Singlet	Triplet	Ukupno
Benzen	2,3	0,16	0,42	0,58
Toulen	2,4	0,14	0,28	0,42
Benzonitril	26	0,07	0,14	0,21
Benzil-alkohol	13,1	0,07	0,11	0,18
Dioksan	2,2	0,14	0,0	0,14
Cikloheksan	2	0,04	0,08	0,12
Aceton	21	0,034	0,1	0,134
Tetrahidrofuranc	7,3	0,01	<0,01	0,014
Etanol	23	<0,01	<0,01	<0,02
Acetonitril	39	—	<0,01	<0,01
Voda	78	Vjerojatno	0	—

Uzbudena stanja molekula mogu se deeksitirati različitim medusobno konkurentnim mehanizmima. U plinskoj fazi, gdje su molekule relativno izolirane, prevladavaju intramolekularni procesi, dok su u kondenziranoj sredini favorizirani intermolekularni procesi.

Atomi i najjednostavnije molekule u superekscitiranim stanjima (stanja u kojima je njihova energija veća od ionizacijske energije) uglavnom se ioniziraju s vjerojatnošću ~ 1 (autoionizacija). Što su molekule složenije, to je veća vjerojatnost drugih putova deeksitacije, kao što su disociacija i unutrašnja konverzija. Deeksitacija emisijom fotona relativno je spor proces ($\sim 10^9 \text{ s}^{-1}$), koji ne može uspješno konkurirati prijelazima bez zračenja iz visokouzbudenih stanja. Taj je proces važan za uzbudena stanja niže energije, kada se naziva fluorescencijom (deeksitacija singleta) i fosforescencijom (deeksitacija tripleta).

Ako je energija uzbudene molekule veća od energije veze, molekula može disocirati na slobodne radikale ili manje neutralne fragmente. Da bi se energija disocijacije lokalizirala u nekoj kemijskoj vezi, potrebno je stanovito vrijeme, za koje molekula gubi energiju u sudarima s drugim molekulama. Stoga je uz istu količinu apsorbirane energije (dozu) fragmentacija u tekućoj fazi manja nego u plinskoj fazi.

Energija superekscitiranog stanja raspodjeljuje se prilikom autoionizacije na pozitivni ion i elektron. Elektroni nastali autoionizacijom imaju relativno nisku energiju, usporedivo s energijom najnižih uzbudjenih stanja. Relativno značenje eksitacije koju proizvodi ta populacija elektrona kritično zavisi od prirode sredine. U aromatskim spojevima energije najnižih tripletnih stanja sežu do 3,6 eV za benzen, 2,65 eV za naftalen i 1,8 eV za antran, pa je velik dio spektra elektrona od autoionizacije sposoban u njima pobuditi eksitacije. Za alifatske spojeve, međutim, i najniže uzbudena stanja leže visoko, npr. 8,7 eV za najniži singlet cikloheksana, pa je eksitacija u tim sredinama relativno manje važna.

Kad energija uzbudene molekule dostaje za intermolekularnu raspodjelu atoma, može nastati izomerizacija.

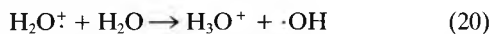
Najčešći intermolekularni proces u kojemu sudjeluju elektronski uzbudene molekule jest prijenos energije eksitacije. U kondenziranoj sredini moguća je brza podjela energije uzbudene molekule sa susjednom molekulom, tako da zatim obje imaju jednaku energiju. Taj je proces djelotvorniji za aromatske spojeve koji se odlikuju gustošćom raspodjelom mogućih uzbudjenih stanja. Za djelotvoran prijenos energije potrebno je da je reakcija prijenosa energije egzotermna ili termoneutralna, da je očuvan spin i da uzbudeno stanje donora traje dovoljno dugo da bi srelo molekulu akceptora i predalo joj energiju.

Većina bimolekularnih reakcija iz uzbudjenih stanja u tekućinama sastoji se u prijenosu energije s najnižeg uzbudjenog stanja otapala na otopljenu tvar. Molekule u uzbudjenim stanjima mogu reagirati i prijenosom naboja, što rezultira nastanjem radikalnih iona.

Slobodni radikali su čestice s jednim ili više nesparenenim elektrona. Prema toj definiciji elektroni i mnogi ioni također su radikali, a tripletna uzbudena stanja mogu se smatrati biradikalima jer imaju dva nesparena elektrona.

Ioni, elektroni i uzbudene molekule, koji nastaju kao primarni produkti djelovanja zračenja, mogu proizvesti slobodne radikale sljedećim procesima: disocijacijom uzbudjenih molekula, prijenosom elektrona ili vodikova atoma s uzbudjenih molekula na druge molekule, monomolekularnom disocijacijom radikalnog iona na neutralni radikal i ion sa sparenim elektronima, ion-molekularnom reakcijom između radikalnih iona i neutralnih molekula, te uhvatom elektrona neutralnom molekulom ili pozitivnim ionom koji ima samo sparene elektrone.

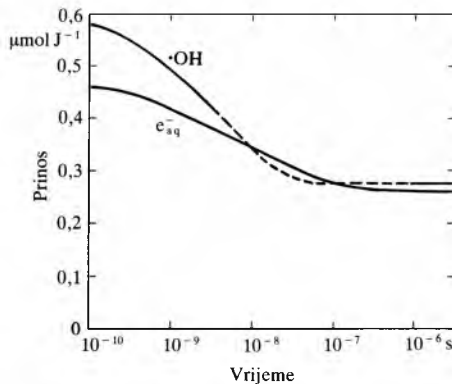
Posebno su važni slobodni radikali koji nastaju u radiolizi vode. Prema analogiji s fotolizom pomoću ultraljubičastog zračenja, disocijacija uzbudene molekule vode, nastale re-kombinacijom primarnog pozitivnog i primarnog negativnog naboja u radiolizi, uzimala se kao glavni izvor vodikovih atoma i hidroksilnih radikala. Pokazalo se, međutim, da je i deprotonacija



veoma brza, zapravo do sada najbrža izmjerena reakcija u vodi ($k = 1,6 \cdot 10^{14} \text{ dm}^3 \text{ mol}^{-1} \text{ s}^{-1}$).

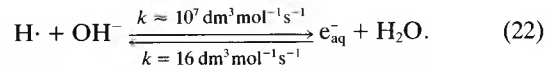
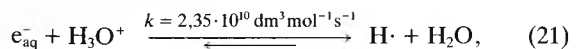
Bez obzira na mehanizam (deprotonacija ili rekombinacija), glavnina hidroksilnih radikala u radiolizi vode potjeće od primarnih pozitivnih iona. Stoga i prostorna raspodjela primarnih hidroksilnih radikala slijedi nehomogenu prostornu raspodjelu pozitivnih iona u izdancima uzduž trajeva ionizirajućih čestica; otuda je i vremenska zavisnost prinosa hidroksilnih radikala slična vremenskoj zavisnosti prinosa elektrona (sl. 13). Koncentracija radikala u izdancima dovoljno je visoka da reakcije rekombinacije uspješno konkuriraju difuziji iz izdanaka i predstavljaju izvor molekularnih produkata H_2 i H_2O_2 .

Izmjereni produkti reducirajućih i oksidirajućih radikala u radiolizi vode γ -zračenjem odnose se na kemijski stupanj, kada su reakcije u izdancima završene i svi produkti homogeno raspodijeljeni u ozračenom volumenu. Prinos oksidacije ($2G_{\text{H}_2\text{O}_2} + G_{\text{OH}}$) jednak je prinosu redukcije ($G_{\text{e}_{\text{aq}}} + G_{\text{H}} + 2G_{\text{H}_2}$), što znači da su prinosi drugih reaktivnih čestica (HO_2^- i O) zanemarivi.



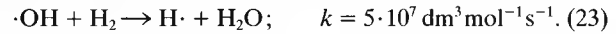
Sl. 13. Vremenska zavisnost prinosa hidroksilnih radikala ($\cdot\text{OH}$) i elektrona (e_{aq}^-) u vodi

Hidratizirani elektron i vodikov atom mogu se smatrati baznim i kiselim oblikom reducirajuće čestice u radiolizi vode. Interkonverzija je moguća zahvaljujući tome što su ravnoteže pomaknute veoma udesno



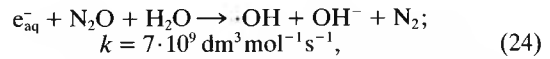
U kiselim mediju svi e_{aq}^- prelaze u $\text{H}\cdot$, a u lužnatom svi $\text{H}\cdot$ postaju e_{aq}^- .

Upotreboom akceptora koji specifično reagiraju samo s oksidirajućim, odnosno samo s reducirajućim radikalima, može se postići da u ozračenoj vodi bude prisutna samo jedna od tih dviju vrsta radikala. Vodik pod tlakom (~ 100 bar) u lužnatom mediju pretvara $\cdot\text{OH}$ u $\text{H}\cdot$



Tercijarni butanol djelotvorno uklanja $\cdot\text{OH}$ ($k = 5 \cdot 10^8 \text{ dm}^3 \text{ mol}^{-1} \text{ s}^{-1}$), a sporo reagira sa $\text{H}\cdot$ ($k = 8 \cdot 10^4 \text{ dm}^3 \text{ mol}^{-1} \text{ s}^{-1}$), dok drugi alkoholi (izopropanol) uklanjaju i $\text{H}\cdot$ i $\cdot\text{OH}$, a ne reagiraju s elektronima.

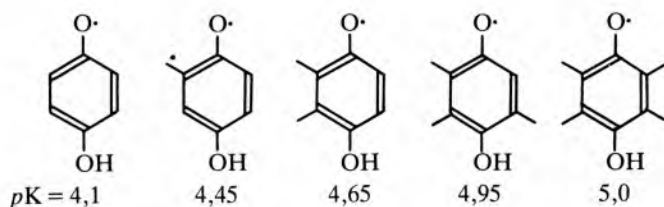
Elektron se može pretvoriti u hidroksilni radikal reakcijom sa N_2O



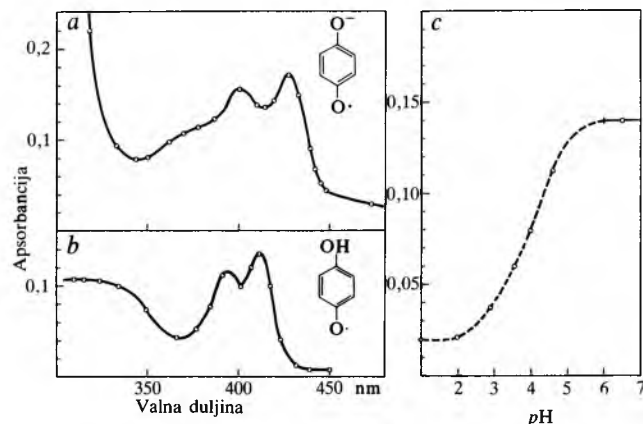
pa se zasićena vodenom otopina N_2O ($2 \cdot 10^{-2} \text{ mol/dm}^3$) upotrebljava kao medij za istraživanje reakcija hidroksilnih radikala.

Mnogi radikali apsorbiraju svjetlost na valnim duljinama većim nego izvorni spojevi. Maksimum optičke apsorpcije supstituiranih alkilnih radikala leži na valnoj duljini manjoj od 250 nm. Adicijom $\text{H}\cdot$ ili $\cdot\text{OH}$ na aromatsku jezgru nastaju radikali cikloheksadienilnog tipa s maksimumom apsorpcije u području 300–350 nm. Radikalni ioni mogu se pratiti i promjenom vodljivosti. Za utvrđivanje strukture i reaktivnosti radikala posebno je važna spektroskopija elektronske spinske rezonancije.

Organiski radikali često imaju kiselo-bazna svojstva različita od originalne molekule. Ako kiseli i bazni oblik pokazuju različite apsorpcijske spektre, mjeranjem apsorpcije za različite vrijednosti $p\text{H}$ i promatranjem promjene apsorpcijskog koeficijenta za dva stanja protonacije s promjenom $p\text{H}$ (sl. 14), dobiva se vrijednost pK , tj. konstanta disocijacije radikala kao kiseline:



Oksidacija i redukcija organskih spojeva uključuje prijelaz najmanje dvaju elektrona. Većina redoks-potencijala navedenih u literaturi odnosi se na ukupnu reakciju. Pretpostavka da se svaka redoks-reakcija sastoji od dva jednoelektronska prijelaza dugo se nije mogla iskoristiti za određivanje jednoelektronskih redoks-potencijala radikala, koji su indikativniji za sudbinu reaktanata nego redoks-potencijal ukupne reakcije, i to zbog kratkoće vremena života čestica koje u njoj sudjeluju. Takva je mjerena omogućila tek pulsna radioliza.



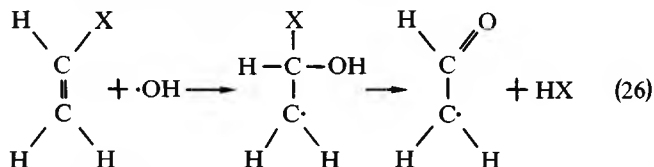
Sl. 14. Apsorpcijski spektri čestica prisutnih 1 μ s nakon pulsa zračenja u otopini koncentracije 0,001 mol/dm³ benzokinona i 0,01 mol/dm³ hidrokinona: a u neutralnom mediju ($pH = 7$), b u kiselim mediju ($pH = 2$), c optička apsorpcija na valnoj duljini 430 nm kao funkcija pH ; točke su eksperimentalni rezultati, a crtkana krivulja je načrtana pod pretpostavkom da je $pK = 4,0$

Solvatizirani elektron je nukleofil, a na njegove reakcije utječe priroda supstituenata. Hidroksilni se radikal ponaša kao elektrofil u reakcijama s aromatskim spojevima, dok se ponašanje vodikova atoma ne da lako predvidjeti: on u reakcijama sa supstituiranim derivatima benzena pokazuje slabo izraženu elektrofilnost.

Dok u reakcijama elektrona s alifatskim spojevima priroda supstituentna određuje reaktivnost i mjesto reakcije, vodikovi atomi i hidroksilni radikali uglavnom reagiraju apstrakcijom vodikova atoma iz lanca. Alifatski i aromatski halogenirani derivati uspješno se dehalogeniraju u reakcijama s elektronima, dok vodikovi atomi reagiraju apstrakcijom halogena iz halogenalifatskih spojeva



i adicijom na aromatski prsten halogenaromatskih spojeva. Hidroksilni radikali ne oduzimaju halogen izravno, nego se adiraju na ugljikov atom koji nosi halogen, nakon čega nastupa oksidativna dehalogenacija



Slično reagiraju s hidroksilnim radikalima i nitro-spojevi. Nekoliko primjera različite reaktivnosti primarnih radikala iz radiolize vode dano je u tablici 5.

Slobodni organski radikali isto su tako sveprisutni kao i organski spojevi od kojih nastaju. Slobodni radikali izvanredno su važni u mnogim procesima koji bitno utječu na

biološki opstanak (disanje, fotosinteza) i degradaciju organiza (kancerogeneza, starenje), te na oksidaciju i polimerizaciju. Razumljivo je stoga i veliko zanimanje za istraživanje reaktivnosti radikala, koja varira od potpune stabilnosti do ekstremne reaktivnosti. Prilikom procjenjivanja reaktivnosti radikala potrebno je uzeti u obzir termodinamičke, steričke i polarne efekte, a njihova kombinacija određuje ishod reakcije.

Reakcije radikala mogu biti monomolekularne (pregradnja i disocijacija) te bimolekularne, koje se dalje mogu razvrstati na reakcije prijenosa radikala i reakcije nestajanja radikala, već prema tome da li produkti uključuju ili ne uključuju slobodne radikale.

Konstanta brzine reakcije radikala određena je prema Arrheniusu predeksponencijalnim faktorom A i energijom aktivacije E_a :

$$k = A \exp\left(-\frac{E_a}{RT}\right). \quad (27)$$

Za reakcije nekog radikala s nizom sličnih molekula faktor A je gotovo konstantan; sva razlika reaktivnosti sadržana je u energiji aktivacije. Ako je prijelazno stanje slabo polarno ili je polarnost u nizu reakcija stalna, relativne brzine reakcija ovise o termodinamičkim činocima, tj. o energijama veza koje pucaju i novih veza koje se stvaraju. Tada, npr., za apsorpciju vodika radikalom $X \cdot$ iz niza alkana $R-H$



vrijedi jednostavni linearni odnos između energije aktivacije i energije veze, D (Evans-Polanyiova jednadžba):

$$E_a = a[D(R-H)] + b, \quad (29)$$

gdje su a i b konstante.

Ako je reakcija veoma egzotermna, radikali reagiraju brzo i neselektivno, ako je veoma endotermna, sporo i selektivno. U termoneutralnim reakcijama, gdje je promjena slobodne entalpije ΔH malena, relativne brzine reakcija zavise od drugih faktora, u prvom redu od polarnosti, npr.:



$$\Delta H = -4,2 \text{ kJ/mol}, \quad E_a = 50 \text{ kJ/mol};$$

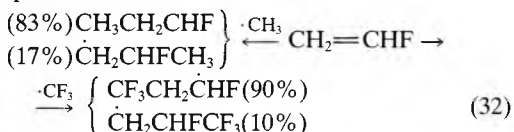


$$\Delta H = -4,2 \text{ kJ/mol}, \quad E_a = 10,4 \text{ kJ/mol}.$$

Tablica 5
KONSTANTE BRZINE REAKCIJA I PRODUKTI REAKCIJA PRIMARNIH RADIKALA IZ RADIOLIZE VODE S RAZLICITIM REAKTANTIMA

Reaktant	Konstante brzine reakcija ($dm^3 \text{mol}^{-1} \text{s}^{-1}$)		
	$k_{e_{aq}}$	$k_{H \cdot}$	$k_{OH \cdot}$
CH_3CH_3	nereaktivan	$2,5 \cdot 10^6$ CH_3CH_2	$1 \cdot 10^9$ CH_3CH_2
CH_3CH_2OH	nereaktivan	$2,6 \cdot 10^7$ CH_3CHOH	$1,8 \cdot 10^9$ CH_3CHOH
CH_3COOH	$2 \cdot 10^8$ $CH_3COO + H \cdot$	$8 \cdot 10^4$ CH_2COOH	$2 \cdot 10^7$ CH_2COOH
$ClCH_2COOH$	$7 \cdot 10^9$ CH_2COOH	$3 \cdot 10^5$ $ClCHCOOH$ CH_2COOH	$5 \cdot 10^7$ $ClCHCOOH$
CH_3COCH_3	$6 \cdot 10^9$ $(CH_3)_2CO \cdot$	$3 \cdot 10^6$ $(CH_3)_2COH$ CH_2COCH_3	$7 \cdot 10^7$ CH_2COCH_3
$CH_2=CH_2$	nereaktivan	$3 \cdot 10^9$ CH_3CH_2	$2 \cdot 10^9$ $HOCH_2CH_2$
CH_3NO_2	$2 \cdot 10^{10}$ $CH_3NO_2 \cdot$	$4 \cdot 10^7$ $CH_3NO_2H \cdot$	10^7
C_6H_6	$1 \cdot 10^7$	$1 \cdot 10^9$ C_6H_7	$5 \cdot 10^9$ C_6H_6OH
C_6H_5OH	$1,8 \cdot 10^7$	$2 \cdot 10^9$ C_6H_5OH	$1,5 \cdot 10^{10}$ $HOCH_2CH_2OH$

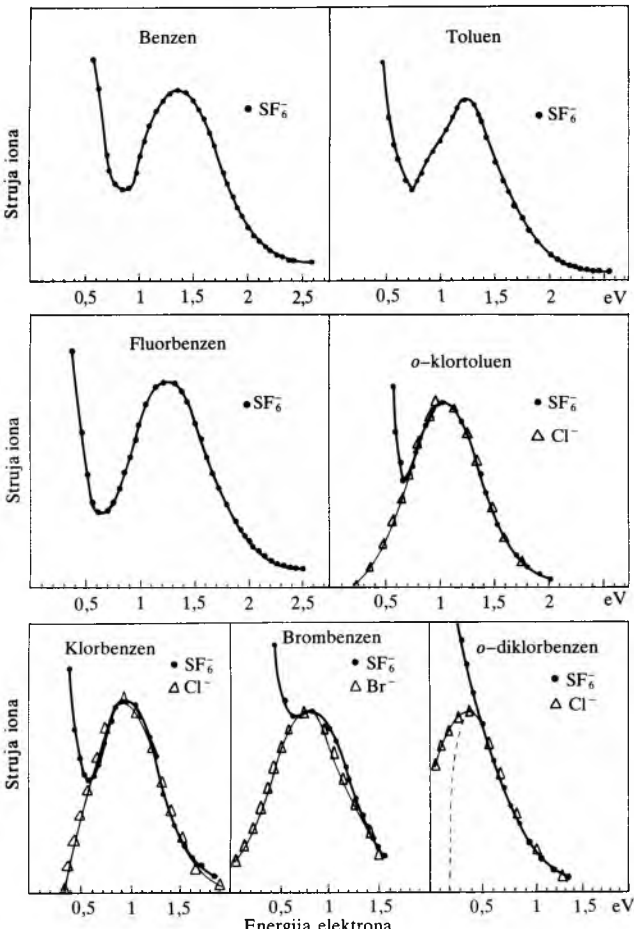
Polarnost, tj. razlika elektronegativnosti, ne može se razmatrati odvojeno od energije veze, ali kod malih promjena slobodne entalpije mogu dipol-dipolne interakcije, koje djeluju suprotno ili komplementarno elektrostatskim silama u prijelaznom stanju, znatno povećati, odnosno sniziti energetsku barijeru u reakcijama supstitucije i adicije radikala. Tako se može desiti da je reaktivniji radikal ujedno i selektivniji, npr.:



Negativni ioni. Najveći dio negativnih iona prve generacije u ozračenim sredinama nastaje *uhvatom elektrona* molekulama, procesima koji su već opisani u razmatranju reakcije elektrona. Samo zanemarljivi dio negativnih iona nastaje heterolitičkim cijepanjem kovalentne veze, za što je potrebna energija veća od ~ 7 eV. U drugoj generaciji negativni ioni mogu nastati prijenosom elektrona. Smatra se da je negativni ion nastao onda kad je vrijeme koje upadni elektron provede asociran uz atom ili molekulu (vrijeme života negativnog iona) duže nego što je potrebno da elektron prijeđe njihov promjer.

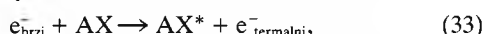
S obzirom na vrijeme života u plinskoj fazi razlikuju se: kratkoživeći negativni ioni ($10^{-15}\dots10^{-12}$ s), koji se mogu opaziti kao rezonancije prilikom raspršenja ili uhvata elektrona molekulama; umjereni kratkoživeći ioni (10^{-12} do 10^{-6} s), koji se mogu stabilizirati uz visoke tlakove inertnih plinova; dugooživeći ioni ($> 10^{-6}$ s), koji se mogu opaziti u spektrometu masa.

Rezonancije kratkoživećih negativnih iona halogeniranih derivata benzena oslikane su u plinskoj fazi pomoću indikator-

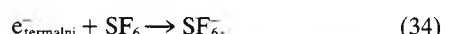


Sl. 15. Ekscitacijski spektri benzena i njegovih derivata i usporedba sa spektrom rezonantnog disocijativnog uhvata

ske molekule sumpor-heksafluorida, SF_6 . Taj akceptor termalnih elektrona ima vrlo oštar maksimum uhvata elektrona kod 0,0 eV, kojemu širina omogućuje razlučivanje energije elektrona od 0,017 eV. U komori u kojoj se brzi monoenergetski elektroni raspršuju molekulama mete AX:

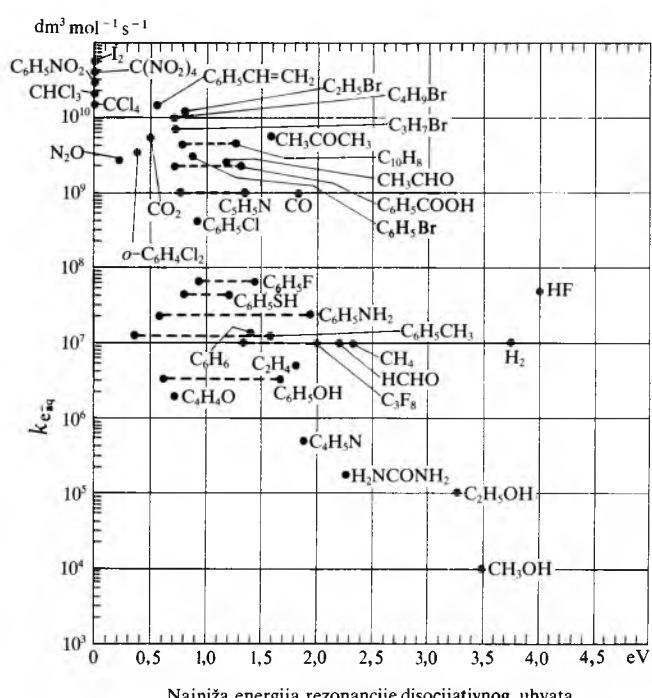


dodani sumpor-heksafluorid djeluje kao akceptor termalnih elektrona:



Praćenje struje iona SF_6^- u funkciji energije upadnih elektrona daje ekscitacijski spektar molekula AX (sl. 15). Usporedba tih spektara sa strujom aniona iz disocijativnog uhvata elektrona (reakcija 10c) pokazuje da neelastičnom raspršenju i disocijativnom uhvatu elektrona prethodi isti negativni ion molekule, tj. da su dva procesa konkurentna.

Interakcija elektrona viših energija ($E > 3$ eV) s molekulama u plinskoj fazi uglavnom rezultira disocijativnim uhvatom (10c), a tlak inertnog plina znatnije ne utječe na taj proces. Elektroni niže energije ($E < 3$ eV) imaju više vremena za interakcije s molekulama, pa raste vjerojatnost drukčijeg ishoda reakcije (10). Nedisocijativni uхват (10d) favoriziran je u sredini s većim tlakom, gdje je veća vjerojatnost da se uzbudeni negativni ion sudsarima oslobođi suviška energije. Tako nastaju ioni umjereni kratkog vremena života ($10^{-12}\dots10^{-6}$ s). Autoionizacija (10a) dominira u području energija elektrona nižih od energije maksima za rezonantni uхват, a disocijacija negativnog iona (10c) na energijama višim od energije maksima. Tako je život negativnog iona određen konkurencijom tih dvaju procesa. Energija maksima rezonancije u plinskoj fazi za cijeli niz molekula korelirana je s reaktivnošću tih molekula prema hidratiziranom elektronu u vodi (sl. 16). Ta korelacija pokazuje na ulogu kratkoživećih negativnih iona u reakcijama hidratiziranih elektrona. Opadanje reaktivnosti prema hidratiziranom elektronu s porastom energije maksima tumači se pomicanjem udarnih presjeka prema nižim energijama pri prelasku iz plinske u tekuću fazu, zbog čega se smanjuje integral prekrivanja udarnog presjeka za uхват sa spektrom energije elektrona.



Sl. 16. Konstanta brzine reakcije hidratiziranog elektrona ($k_{e_{\text{brz}}}$) kao funkcija energije najnižeg maksima disocijativnog uhvata elektrona u plinskoj fazi za različite molekule. Crtkane linije spajaju položaje maksima s dvostrukim rezonancijama

Dug život negativnih iona nekih molekula u plinskoj fazi može se zahvaliti postojanju mnoštva vibracijskih razina na kojima se može pohraniti energija upadnog elektrona, tako da ne nastaje autoionizacija ili fragmentacija. U skladu s tim, dugoživeći negativni ioni dvoatomnih molekula nisu nikada opaženi u plinskoj fazi.

U kondenziranoj sredini zračenjem se mogu u drugoj generaciji selektivno proizvoditi pozitivni i negativni ioni i radikali, već prema svojstvima otopala i otopljeve tvari. Negativni ioni i radikali nastaju u hvatom elektrona molekulama otopljeve tvari u otopalima koja solvatiziraju elektrone, a pozitivni ioni i radikali nastaju u otopalima kojima su molekule vrlo reaktivne prema elektronima, kao što su npr. halogenugljikovodici. Toplinski raspodjeljeni negativni ioni mnogo je brži od raspoda neutralnih molekula. Prijenos elektrona s negativnog iona na neutralnu molekulu moguće je ako je elektronski afinitet molekule koja prima elektron veći od elektronskog afiniteta molekule koja ga predaje, te ako negativni ion živi dovoljno dugo da može sresti molekulu akceptora. Negativni ioni reagiraju kao Brønstedove baze i mogu primiti proton od Brønstedovih kiselina, npr.



Reaktivnost aniona koji se nalazi u ionskom paru veća je od reaktivnosti slobodnog iona i zavisi od prirode pozitivnog prototiona.

LIT.: A. O. Allen, *The Radiation Chemistry of Water and Aqueous Solutions*. Van Nostrand Co., Princeton 1961. – A. K. Pikaev, *Pulse Radiolysis of Water and Aqueous Solutions*. Indiana University Press, Bloomington 1967. – P. Ausloos (Editor), *Fundamental Processes in Radiation Chemistry*. Interscience Publishers, New York 1968. – E. J. Henley, E. R. Johnson, *The Chemistry and Physics of High Energy Reactions*. Washington University Press, Washington, D. C. 1969. – A. Henglein, W. Schnabel, J. Wendenburg, *Einführung in die Strahlenchemie mit praktischen Anleitungen*. Verlag Chemie, Weinheim 1969. – M. S. Matheson, L. M. Dorfman, *Pulse Radiolysis*. The M. I. T. Press, Cambridge, MA 1969. – A. K. Пикаев, Солватированный электрон в радиационной химии. Наука, Москва 1969. – E. J. Hart, M. Anbar, *The Hydrated Electron*. Wiley-Interscience, London 1970. – I. G. Draganić, Z. D. Draganić, *The Radiation Chemistry of Water*. Academic Press, New York 1971. – L. G. Christophorou, *Atomic and Molecular Radiation Physics*. J. Wiley and Sons, New York 1971. – M. Haissinsky (Editor), *Actions chimiques et biologiques des radiations*. Masson et Cie., Paris, Vol. I do Vol. XV, 1955/1971. – A. J. Swallow, *Radiation Chemistry*. Longmans, London 1973. – J. K. Kochi (Editor), *Free Radicals*. Wiley-Interscience, New York 1973. – G. G. Hammes (Editor), *Investigation of Rates and Mechanisms of Reactions. Part II: Investigation of Elementary Reaction Steps in Solution and Very Fast Reactions*. Wiley-Interscience, New York 1974. – S. G. Lias, P. Ausloos, *Ion-molecule Reactions. Their Role in Radiation Chemistry*. American Chemical Society, Washington, D. C. 1975. – J. W. T. Spinks, R. J. Woods, *An Introduction to Radiation Chemistry*. J. Wiley and Sons, New York 1976. – M. Burton, J. L. Magee (Editors), *Advances in Radiation Chemistry*. J. Wiley and Sons, New York, Vol. I do Vol. V, 1969/1976. – J. Kroh, *Elektryny w chemii radiacyjnej układów skondensowanych*. Ossolineum, Wrocław 1980. – A. K. Пикаев, С. А. Кабакчи, И. Е. Макаров, Б. Г. Ериков, Импульсный радиолиз и его применение. Атомиздат, Москва 1980. – G. Földiák, Gy. Cserép, I. György, M. Roder, L. Wojnárovits, *Radiation Chemistry of Hydrocarbons*. Elsevier, Amsterdam 1981. – J. H. Baxendale, F. Busi (Editors), *The Study of Fast Processes and Transient Species by Electron Pulse Radiolysis*. D. Reidel Publ. Co., Dordrecht 1982. – W. A. Pryor (Editor), *Free Radicals in Biology*. Academic Press, New York, Vol. I do Vol. V, 1976/1982. – J. Bednář, *První pikosekunda v radiační chemii*. Academia, Prag 1983. – R. V. Bensasson, E. J. Land, T. G. Truscott, *Flash Photolysis and Pulse Radiolysis. Contributions to the Chemistry of Biology and Medicine*. Pergamon Press, Oxford 1983. – A. K. Пикаев, Современная радиационная химия. Основные положения, экспериментальная техника и методы. Наука, Москва 1985. – В. В. Сараева, Радиолиз углеводородов в жидкой фазе. Изд. Московского унив., Москва 1985. – A. K. Пикаев, Современная радиационная химия. Радиолиз газов и жидкостей. Наука, Москва 1986.

D. Ražem

RADIJACIJSKA TEHNOLOGIJA, operacije i procesi kojima se materijali ili proizvodi namjerno izlažu djelovanju ionizirajućeg zračenja (v. *Nuklearno zračenje*, TE 9, str. 535) radi postizanja novih kvaliteta tih materijala ili proizvoda, ili sinteze novih tvari. Već prema vrsti materijala, nova kvaliteta posljedica je određenog kemijskog ili biološkog učinka zračenja. Kako je biološki učinak također posljedica kemijskih promjena u živoj tvari, radijacijska

tehnologija izravna je industrijska primjena radijacijske kemije (v. *Radijacijska kemija*).

Budući da je kemijski (stoga i tehnološki) djelotvorna samo apsorbirana energija zračenja, brzina nastajanja nove kvalitete ili novog spoja, tj. produktivnost B (u kg/kWh), dana je izrazom

$$B = \gamma \frac{3600}{D}, \quad (1)$$

gdje je γ udio emitirane energije zračenja koji se apsorbira u ozračenom materijalu (stupanj iskoristištenja energije zračenja), a D apsorbirana doza (u kGy). Npr., za postupak sprečavanja klijanja krumpira, koji zahtjeva dozu od 0,1 kGy, produktivnost izvora zračenja snage 1 kW uz $\gamma = 0,25$ bila bi 9 tona/sat.

Taj primjer pokazuje kako izvor zračenja snage samo 1 kW, dakle reda veličine običnog glaćala, može biti moćan industrijski uređaj. Drugim riječima, energija predana u velikim kvantima na subatomskoj razini, ima mnogo veći učinak nego kad se predaje u malim kvantima na molekularnoj i atomskoj razini kao toplinska energija. Toplinska energija većinom se raspoređuje na translaciju, rotaciju i vibraciju molekula i atoma, a tek vrlo mali dio na uzbudu elektronskih sustava prilikom toplinske aktivacije. Energiju potrebnu za uzbudu elektronskih sustava koja može dovesti do kemijskih reakcija posjeduje tek mali udio molekula na visokoenergetskom kraju Maxwelleove raspodjele. Nasuprot tome, energiju ionizirajućeg zračenja izravno apsorbiraju elektronski sustavi atoma i molekula, što s maksimalnom djelotvornošću rezultira nastajanjem reaktivnih čestica koje iniciraju kemijske reakcije. Slično se događa i prilikom fotokemijske aktivacije, ali tada se redovito radi o selektivnoj aktivaciji samo jedne komponente pomoću svjetlosti određene valne duljine (v. *Fotokemijska tehnologija*, TE 5, str. 605).

Na osnovi karakteristika međudjelovanja zračenja i tvari (v. *Nuklearno zračenje*, TE 9, str. 545) slijedi nekoliko posljedica, koje su za radijacijsku tehnologiju vrlo bitne: a) Kemijski reaktivne čestice i skupine mogu se proizvoditi u vrlo velikom rasponu intenziteta i koncentracija, bez katalizatora i ostataka, i to u čvrstom, tekućem i plinovitom stanju. b) Reaktivne čestice i skupine mogu se proizvesti u vrlo velikom rasponu temperatura, pa se stoga njihovo nastajanje i njihove reakcije mogu kontrolirati odvojeno. c) Kontroliranjem radijacijskокemijskih parametara može se postići selektivnost učinaka, usprkos neselektivnosti apsorpcije energije zračenja.

Radijacijska tehnologija zasniva se na uspješnom iskoristištanju tih prednosti zračenja s obzirom na toplinu, slično kao što se u fotokemijskoj tehnici iskoristištavaju komparativne prednosti međudjelovanja energije svjetlosti i tvari.

Mjera kemijskog učinka zračenja jest radijacijskокemijski prinos G . Produktivnost izvora zračenja proporcionalna je tom prinosu i relativnoj molekularnoj masi M_r :

$$B = 3,74 \cdot 10^{-4} \gamma G M_r \left(u \frac{\text{kg}}{\text{kWh}} \right). \quad (2)$$

Da bi se dobila što veća količina produkta uz određenu uloženu energiju, G i M_r trebaju biti što veći. To znači da su za radijacijsku tehnologiju perspektivne one lančane reakcije inducirane zračenjem koje se odlikuju velikim prinosima ili koje daju proekte velike molekularne mase. Prilikom djelovanja zračenja na monomere ispunjena su oba ta zahtjeva, tj. visoki G i visoki M_r , a djelovanjem na polimerne materijale modificiraju se svojstva spojeva velike molekularne mase. Stoga su radijacijska polimerizacija i radijacijska modifikacija polimera kandidati za uspješne procese radijacijske tehnologije. Odluka o tehnološkoj primjeni, međutim, uvijek ovisi o pristupačnosti izvora zračenja i o cijeni energije zračenja. Glavne zakonitosti radijacijske polimerizacije iste su kao i zakonitosti konvencionalne polimerizacije inicirane slobodnim radikalima; radijacijskокemijsko djelovanje ograničeno je na primarne događaje koji dovode do pojave